

2020-07

На правах рукописи

РАХМОНОВ РАХМОН ОХОНОВИЧ

**РЕЦИКЛИЗАЦИЯ 2-АМИНО-1,3,4-ТИАДИАЗОЛОВ
В СИНТЕЗЕ ПОЛИЯДЕРНЫХ ГЕТЕРОЦИКЛИЧЕСКИХ СОЕДИНЕНИЙ**

**Автореферат
диссертации на соискание учёной степени
доктора химических наук**

Специальность: 1.4.3 – органическая химия

Научный консультант: доктор
химических наук, профессор
Ходжибаев Юлдош

Душанбе-2023

Работа выполнена в лаборатории химии гетероциклических соединений ГНУ «Институт химии имени В.И. Никитина Национальной академии наук Таджикистана».

Научный консультант: доктор химических наук, профессор, ведущий научный сотрудник лаборатории химии гетероциклических соединений ГНУ «Институт химии имени В.И. Никитина Национальной академии наук Таджикистана»
Ходжибаев Юлдош

Официальные оппоненты: доктор химических наук, профессор, член-корреспондент АН Республики Башкортостана, академик Международной академии образования, Заслуженный деятель науки РБ
Злотский Семен Соломонович,

доктор химических наук, профессор, заведующей кафедрой фармацевтической химии Федерального государственного бюджетного образовательного учреждения высшего образования «Пермская государственная фармацевтическая академия» Министерства здравоохранения Российской Федерации Замараева Татьяна Михайловна,

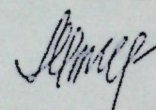
доктор химических наук, профессор, член-корреспондент Российской академии Естествознания, заместитель директора по научной работе НИИ фармакология, заведующий лабораторией синтеза противовирусных средств ВолГМУ Озеров Александр Александрович

Ведущая организация: Научно-исследовательский Институт Таджикского национального университета

Защита состоится: «15» мая 2023 года в 11:00 на заседании диссертационного совета 73.1.002.03 при ГНУ «Институт химии имени В.И. Никитина НАН Таджикистана» по адресу: 734063, Республика Таджикистан, г. Душанбе, ул. Айни, 299/2, E-mail: dissiovet@ikai.tj

С диссертацией можно ознакомиться в библиотеке и на сайте ГНУ «Институт химии имени В.И. Никитина НАН Таджикистана» www.chemistry.tj

Автореферат разослан “14” 04 2023 г.
Учёный секретарь
диссертационного совета,
к.х.н.



Норова М.Т.

ОБЩАЯ ХАРАКТЕРИСТИКА РАБОТЫ

Актуальность работы. Интерес к химии гетероциклических соединений объясняется, прежде всего, тем, что они являются удобными объектами для изучения взаимного влияния атомов и групп. Кроме того, гетероциклы по своему значению занимают одно из ведущих мест среди уже известных биологически активных веществ синтетического и природного происхождения.

С точки зрения теоретической органической химии актуальность диссертационной работы обусловлена тем, что в последние годы ускоренными темпами развиваются области органической химии, связанные с созданием и изучением свойств биологически активных веществ и лекарственных препаратов. Эти вопросы в диссертационной работе рассматриваются в главе 5.

Объектом исследования настоящей работы выбраны производные 6-(*n*-бром/йодофенил)имидаzo[2,1-*b*][1,3,4]тиадиазола и 7,8-дигидроцикlopентан[*d*]-[1,3,4]тиадиазоло[3,2-*a*]пиrimидин-5(6*H*)-она и их конденсированные аналоги, которые имеют широкие синтетические возможности, что открывает перспективность использования новых лекарственных препаратов. За последние годы появились данные, свидетельствующие о том, что производные 6-(*n*-бром/йодофенил)имидаzo[2,1-*b*][1,3,4]тиадиазола и 7,8-дигидроцикlopентан[*d*]-[1,3,4]тиадиазоло[3,2-*a*]пиrimидин-5(6*H*)-она обладают противотуберкулезной, противоопухолевой, противосудорожной, антидепрессантной, антиоксидантной, радиозащитной и антигистаминной активностью. Выбор такого направления работы вызван необходимостью дополнения имеющихся в литературе сведений, касающихся некоторых аспектов теоретической органической химии, включающих реакции нуклеофильного и электрофильного замещения, в том числе реакции алиаминирования в условиях реакции Манніха и ацилирования.

Первичными скрининговыми испытаниями показано, что производные 6-(*n*-бромфенил)имидаzo[2,1-*b*][1,3,4]тиадиазола и 7,8-дигидроцикlopентан[*d*]-[1,3,4]-тиадиазоло[3,2-*a*]пиrimидин-5(6*H*)-она могут представлять интерес, как препараты с антибактериальной и противогрибковой активностью.

Особый интерес представляют пятичленные гетероциклы с тремя гетероатомами - 1,3,4-тиадиазолы, а также их конденсированные производные - имидазо[2,1-*b*][1,3,4]тиадиазола и 1,3,4-тиадиазоло[3,2-*a*]пиrimидина. Эти соединения обладают широким спектром физиологической активности: анальгетической, сосудорасширяющей, противоопухолевой, бактерицидной, оказывают успокаивающее действие и т.д. Они используются, как высокоэффективные добавки к фитоматериалам, проявляют фунгицидные, инсектицидные и гербицидные свойства.

Наличие в структуре тиадиазолов нуклеофильных центров открывает широкие возможности использования этих соединений в синтезе новых производных, в

которых, в зависимости от природы атакующего реагента и условий реакции, в роли нуклеофильного центра выступает атом серы или же атом азота гетероцикла, а также оба атома становятся реакционными центрами.

Целью настоящего исследования является:

- разработка методологии синтеза модифицированных различными заместителями ряда производных 6-(*n*-бром/йодофенил)имидаzo[2,1-*b*][1,3,4]-тиадиазола и 7,8-дигидроцикlopентан[*d*][1,3,4]тиадиазоло[3,2-*a*]-пиримидин-5(6Н)-она;
- синтез новых соединений, дающих возможность переходить к эффективным биологически активным веществам;
- расширение ассортимента полупродуктов тонкого органического синтеза, химических реагентов и веществ, обладающих ценным комплексом полезных свойств;
- изучение зависимостей свойств от состава, строения, природы и местоположения заместителей в молекуле гетероциклов, что предопределяет целесообразность и необходимость систематического исследования производных 2-бром-6-(*n*-бромфенил)имидаzo[2,1-*b*][1,3,4]тиадиазола, 2-бром-6-(*n*-Йодофенил)-имидаzo[2,1-*b*][1,3,4]тиадиазола и 2-R-7,8-дигидроцикlopентан[*d*][1,3,4]-тиадиазоло[3,2-*a*]-пиримидин-5(6Н)-она.

В ходе исследования решались следующие задачи:

- в зависимости от природы исходных соединений выбрать подходящие для функциональных групп реагенты; обозначить ограничения или преимущества того или иного метода синтеза с применением прогнозирования конечных продуктов; унифицировать химические реакции для повышения выхода целевых соединений и упрощения многостадийного синтеза;
- изучить строение образующихся модифицированных производных 2-бром-6-(*n*-бром/йодофенил)имидаzo[2,1-*b*][1,3,4]тиадиазола и выявить условия их образования;
- исследовать функционирование модифицированных производных имидаzo[2,1-*b*][1,3,4]-тиадиазолов;
- выработать общую методологию и концепцию целевого синтеза новых модификаций 2-бром-6-(*n*-бром/йодофенил)имидаzo[2,1-*b*][1,3,4]тиадиазола и 2-R-7,8-дигидроцикlopентан[*d*][1,3,4]тиадиазоло[3,2-*a*]-пиримидин-5(6Н)-она на основе химически модифицированных имидаzo[2,1-*b*][1,3,4]-тиадиазола и цикlopентан[4,5-*d*][1,3,4]тиадиазоло[3,2-*a*]-пиримидина;
- изыскать пути практического применения полученных соединений.

Научная новизна.

Впервые методом ЯМР-спектроскопии доказано, что реакции 2-бром-, 2,5-дигидро-6-(*n*-бром/йодофенил)имидаzo[2,1-*b*][1,3,4]тиадиазола и 2-бromo-7,8-дигидроцикlopентан[*d*][1,3,4]тиадиазоло[3,2-*a*]-пиримидин-5(6Н)-она с электрофильными и нуклеофильными реагентами протекают региоспецифично, что позволяет получать ряд амино- и сульфидных производных с высокими выходами, а также исследованы химические свойства полученных соединений.

Усовершенствованы методы синтеза ряда производных 6-(*n*-бром/йодофенил)имидаzo[2,1-*b*][1,3,4]тиадиазолов при их взаимодействии с различнымиmono- и binukleoильными реагентами, что позволило получать целевые продукты с высокими выходами.

Впервые методом ИК- и ЯМР ¹H, ¹³C-спектроскопии и элементного анализа доказано, что при ацилировании N-((2-бром-6-(*n*-бромфенил)имидаzo[2,1-*b*][1,3,4]тиадиазол-5-ил)метил)этиламина уксусным ангидридом вместо ожидаемого целевого продукта - N-этил-N-((2-бром-6-(*n*-бромфенил)имидаzo[2,1-*b*][1,3,4]-тиадиазол-5-ил)-метил)ацетамида образуется 3,10-дигидро-6-этил-5-метил-6Н-[1,3,4]тиадиазоло[2',3':2,3]имидаzo[4,5-*c*]бензо-[*e*]-азепин.

Методом ЯМР-спектроскопии ¹³C, ¹H и элементным анализом впервые исследовано строение продуктов взаимодействия 2-бром-6-(*n*-бромфенил)имидаzo[2,1-*b*][1,3,4]тиадиазола и 2-R-7,8-дигидроцикlopентан[*d*][1,3,4]-тиадиазоло[3,2-*a*]-пиримидин-5(6Н)-она и их 2-амино- и 2-сульфидпроизводных с широким кругом электрофильных и нуклеофильных реагентов.

Синтезированы и идентифицированы несколько десятков гетероциклических соединений, ранее не описанных в литературе. По данным скрининга, среди вновь синтезированных соединений выявлены вещества, которые проявляют широкий спектр биологической активности.

Выявлено, что 2-R-NH-производные 6-(*n*-бромфенил)имидаzo[2,1-*b*][1,3,4]-тиадиазолов легко вступают в реакции ацилирования с уксусным ангидридом.

Разработана методология синтеза полифункциональных производных 6-(*n*-бром/фенил)имидаzo[2,1-*b*][1,3,4]тиадиазола на основе ацилирования аминов, окисления алкилтио- и алкилтиоалкилпроизводных 6-(*n*-бромфенил)имидаzo[2,1-*b*][1,3,4]тиадиазола, а также изучены их физико-химические свойства.

Установлены антибактериальный и противогрибковый потенциалы *in vitro* водных растворов производных 6-(*n*-бромфенил)имидаzo[2,1-*b*][1,3,4]тиадиазола в отношении следующих тест-культур: *Staphilococcus aureus* (ATCC6538), *Esherichia coli* (ATCC 11229), *Candida albicans* (ATCC 10231).

Практическая значимость. Разработаны новые методики синтеза 6-(*n*-бром/йодофенил)имидаzo[2,1-*b*][1,3,4]тиадиазола и 7,8-дигидроцикlopентан[*d*][1,3,4]-тиадиазоло[3,2-*a*]-пиримидин-5(6Н)-она с различными функциональными

группами. Полученные результаты представляют практический интерес для теоретической органической химии.

Среди синтезированных соединений выявлены значительные antimикробные и противогрибковые свойства. Методом тестирования *in vitro* установлено, что ряд веществ обладает умеренным бактерицидным и противогрибковым действием по отношению к золотистым стафилококкам и *Candida albicans*.

Выявленные биологические свойства производных имидазо[2,1-*b*][1,3,4]-тиадиазолов могут позволить рассматривать данные соединения в качестве компонентов химиотерапевтических материалов.

Основные положения, выносимые на защиту.

- методы синтеза 2-бром-6-(*n*-брому/йодофенил)имидазо[2,1-*b*][1,3,4]-тиадиазола и 2-бром-7,8-дигидроцикlopента[*d*][1,3,4]тиадиазоло[3,2-*a*]пиримидин-5(6Н)-она;

- способы модификации 2-бром-6-(*n*-брому/йодофенил)имидазо[2,1-*b*][1,3,4]-тиадиазола и 2-бром-7,8-дигидроцикlopента[*d*][1,3,4]тиадиазоло[3,2-*a*]пиримидин-5(6Н)-она путём функционализации нуклеофильных и электрофильных агентов и посредством их окисления и ацилирования сульфид- и аминопроизводных данных гетероциклов;

- синтез *N*-(2-бром-6-(*n*-бромуфенил)имидазо[2,1-*b*][1,3,4]тиадиазол-5-ил)-метил)алкиламина с использованием реакции Манніха;

- влияние заместителей 2, 5 и 6-го положений 2,5-замещённых 6-(*n*-брому/йодофенил)имидазо[2,1-*b*][1,3,4]-тиадиазола обуславливает такое распределение электронной плотности, при котором происходят изменения в интенсивности некоторых пиков имидазо-тиадиазольного кольца;

- синтез 3,10-дibром-6-этил-5-метал-6Н-[1,3,4]тиадиазоло[2',3':2,3]-имидазо[4,5-*c*]бензо[*e*]азепина ацилированием *N*-(2-бром-6-(*n*-бромуфенил)имидазо[2,1-*b*][1,3,4]тиадиазол-5-ил)метил)этиламина путём внутримолекулярной электрофильной атаки на промежуточный продукт в о-положении 6-пара-бромуфенильной группы;

- проявление значительной бактериостатической и бактерицидной активностей производными 6-(*n*-бромуфенил)имидазо[2,1-*b*][1,3,4]тиадиазола по отношению к золотистым стафилококкам.

Полученные в рамках данной диссертационной работы результаты, сформулированные на их основе выводы и положения, выносимые на защиту, являются новым научным достижением в органической химии макроциклических соединений, которое заключается в создании методов синтеза конденсированных би- и трициклических конденсированных имидазо[2,1-*b*][1,3,4]тиадиазолов и 1,3,4-тиадиазоло[3,2-*a*]пиримидинов, выявлении особенностей их структуры и биологических свойств.

Степень достоверности и аprobация работы. При выполнении данного исследования было синтезировано 61 соединение с практической ценностью, ранее не описанных в литературных источниках, достоверность строения и чистота которых подтверждается экспериментальными данными, встречным синтезом с производимостью и повторностью, а также методами ЯМР, ^1H , ЯМР ^{13}C , ИК-, масс-спектроскопии и данными элементного анализа, а также проведением ряда работ по определению биологической активности синтезированных соединений.

Результаты работы апробированы на республиканских и международных научных конференциях, в том числе представлены в виде устных и стендовых докладов на II Всероссийской молодежной конференции «Проблемы и достижения химии кислород- и азотсодержащих биологически активных соединений» (Уфа, 2017), V Всероссийской с международным участием конференции по органической химии (Владикавказ, 2018).

Публикации. По материалам диссертации опубликовано 28 статей в российских и международных научных журналах, рекомендованных ВАК РФ, и рецензируемых и индексируемых в признанных международных системах цитирования Web of Science и Scopus, 42 тезиса докладов на республиканских, российских и международных конференциях, 3 монографии, получены 2 малых патента и 2 акта об испытании полученных результатов.

Личный вклад автора заключается в постановке темы исследования, формулировании цели и задач исследования, разработке подходов к их решению, проведении интерпретации и обобщения полученных результатов, формулировании выводов. Все включённые в диссертацию результаты получены либо автором самостоятельно, либо при его непосредственном участии на всех этапах исследования: проведении синтезов, обработке результатов, доказательстве структуры соединений, написании и оформлении публикаций. Работа выполнена в соответствии с планом НИР Института химии им. В.И. Никитина Национальной академии наук Таджикистана «Синтез, исследование физико-химических и биологических свойств производных имидазотиадиазолов, бензотиофенов и выделение их аналогов из сернистой нефти Республики Таджикистан» (ГР 0116ТJ005 от 30 марта 2016 г.).

Структура и объем диссертации. Содержание работы изложено на 346 страницах, включает 13 таблиц и 48 рисунков, состоит из литературного обзора, обсуждения результатов, экспериментальной биологической части, экспериментальной химической части, выводов, списка литературы (302 наименования).

Работа выполнена в лаборатории химии гетероциклических соединений Института химии им. В. И. Никитина Национальной академии наук Таджикистана.

ОСНОВНОЕ СОДЕРЖАНИЕ РАБОТЫ

Во введении представлена структура диссертационной работы, обосновывается актуальность работы, изложены цели и задачи, научная новизна и её практическая ценность.

В первой главе представлен анализ и обобщение научных публикаций, затрагивающих основные подходы к синтезу с использованием 2-амино-5-бром-1,3,4-тиадиазола с *пара*-бромфенацила бромистого на основе реакции циклизации. Кроме того, в этой главе приведено описание химических свойств производных имидазо[2,1-*b*][1,3,4]тиадиазолов, изучены теоретические основы реакций 2,5-дизамещенных имидазо-тиадиазолов.

Во второй главе представлен анализ и обобщение научных публикаций, касающихся основных подходов к синтезу производных 1,3,4-тиадиазоло[3,2-*a*]-пиrimидинов. Кроме того, в этой главе приведено описание химических свойств производных 1,3,4-тиадиазоло[3,2-*a*]пиrimидинов, изучены теоретические основы реакций замещения и приведены механизмы этих реакций.

В третьей главе обсуждены результаты исследования, касающиеся разработки основных направлений синтеза производных 2-бром-6-(*n*-бром/йодофенил)имидазо[2,1-*b*][1,3,4]-тиадиазола, а также описаны установления структуры производных данного цикла современными физико-химическими методами.

В четвертой главе представлены результаты исследования антимикробной активности производных 2-бром-6-(*n*-бромфенил)имидазо[2,1-*b*][1,3,4]-тиадиазола.

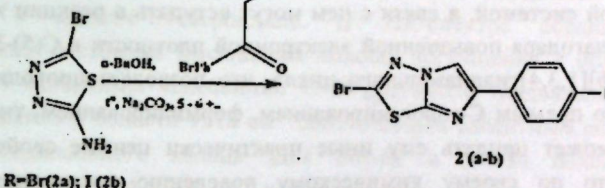
В пятой главе обсуждаются собственные экспериментальные данные по разработке основных направлений синтеза производных 2-бром-6-(*n*-бром/йодофенил)имидазо[2,1-*b*][1,3,4]-тиадиазола и 2-бром-7,8-дигидроцикlopента[*d*][1,3,4]-тиадиазоло[3,2-*a*]пиrimидин-5(*H*)-она, а также описаны противомикробные и противотуберкулёзные эффекты производных 6-(*n*-бромфенил)-имидазо[2,1-*b*][1,3,4]тиадиазола.

1. Синтез и установление строения 2-бром-6-(*n*-бром/йодофенил)имидазо[2,1-*b*][1,3,4]-тиадиазола (2-3)

В ходе работы проведены исследования реакции 2-амино-5-бром-1,3,4-тиадиазола (1) с *n*-бром/йодофенацилбромидом. Реакцию циклизации проводили в среде *n*-бутанола в эквимолярных количествах реагирующих веществ. Реакция протекает при температуре кипения растворителя в течение 7-8 ч, и по окончании реакции при нейтрализации ацетатом натрия образовывался белый осадок, который после перекристаллизации представлял собой бесцветное кристаллическое соединение 2-бром-6-(*n*-бром/йодофенил)имидазо[2,1-*b*][1,3,4]тиадиазолы (2a)-(2b).

В общем виде ход реакции получения соединений (2a) – (2b) можно представить следующей схемой:

Схема 1:



Соединение (1) с *n*-бром- и *n*-йодофенацилбромидом без выделения из реакционной системы промежуточных соединений подвергалось воздействию в среде высококипящего бутанола с выделением 2-бром-6-(*n*-бром/*n*-йодофенил)-имидазо[2,1-*b*][1,3,4]тиадиазола (2a-b) и хорошим выходом - 73%.

Полученные соединения (2a-b) служат исходными соединениями для получения производных 2-бром-6-(*n*-бром/йодофенил)имидазо[2,1-*b*][1,3,4]-тиадиазола (2a-b).

Структура соединений (2a-b) была изучена с помощью ИК-, ЯМР ¹Н, ¹³С, масс-спектроскопии, а также элементным анализом.

В ИК-спектре соединения (2a) не наблюдается сигнала, характерного для карбонильной группы промежуточного продукта (1700-1710 cm^{-1}), а наблюдаются полосы поглощения, характерные для C=N-, C=C-, C-S-C-, C(2)-Br-групп и замещённой фенильной группы (1655, 1518, 1493, 698, 3084, 2360 749, 1125, 1077, 939, 838 и 721 cm^{-1}).

Таким образом, на спектре ЯМР ¹Н в дейтерированном хлороформе (CDCl_3) протон-метиновая группа в 5-ом положении соединения (2a) проявляется в области δ =7.94 (s, 1H, C(5)-H). У протонов имеются химические сдвиги в области δ =7.66 (s, 2H, H-o), δ =7.53 (s, 2H, H-m) м.д., отнесённые к о- и м- положениям *n*-бромфенильной группы, интегрирование этих сигналов приводит к соотношению 1:2:2. В спектре ЯМР ¹Н (в CDCl_3) соединения (2b) по сравнению с соединением (2a) протон-метиновая группа 5-ого положения гетероцикла проявляется в области δ =7.94 (s, 1H, C(5)-H), а протоны *n*-I- C_6H_4 обнаружены при δ =7.66 (s, 2H, H-o), δ =7.53 (s, 2H, H-m) м.д. в слабом поле.

В спектре ЯМР ¹³С соединения (2a) наблюдаются сигналы углеродов С-2, С-5, С-6, С-7а и С-о-, м- и *n*-замещённой фенильной группы в области 159.74 м.д. (C-2), 109.44 м.д. (C-5), 145.05 (C-6), 146.01 (C-7a), 133.05 (C-i), 121.35 (C-p), 131.94 м.д. (C-m), 126.64 м.д. (C-o).

2. Функционализация 2-бром-6-(*n*-бром/йодофенил)имидазо[2,1-*b*][1,3,4]тиадиазола путём электрофильного замещения

С целью изучения реакционной способности водорода в положении C(5)-H, исследованы реакции электрофильного замещения, протекающие в 2-бром-5Н-6-(*n*-

бром/йодофенил)имидаzo[2,1-*b*][1,3,4]тиадиазолах (2a-b).

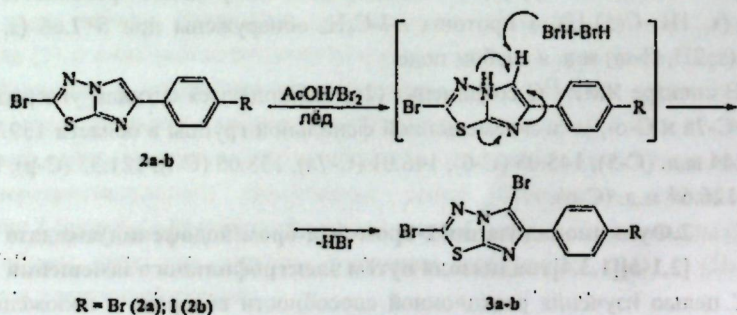
Как известно, имидаzo[2,1-*b*][1,3,4]тиадиазолы являются бициклической ароматической системой, в связи с чем могут вступать в реакции электрофильного замещения благодаря повышенной электронной плотности в C(5)-H-ом положении имидаzo[2,1-*b*][1,3,4]тиадиазольного цикла, что позволяет проводить структурную модификацию прямым С-галогенированием, формилированием, тиоцианированием и т.д., что может придать ему иные практические ценные свойства. Из опытов выявлено, что по своему химическому поведению производные имидаzo[2,1-*b*][1,3,4]тиадиазолов, содержащие метинную группу в имидаzo[2,1-*b*][1,3,4]тиадиазольных фрагментах, являются активными центрами, что может придать им высокие электрофильные свойства. Такая высокая реакционная способность имидаzo[2,1-*b*][1,3,4]тиадиазольного фрагмента в 5-незамещённых производных имидаzo[2,1-*b*][1,3,4]тиадиазолов обусловлена тем, что в нём, по сравнению с тиадиазольным фрагментом, в большей степени сохраняются диеновые системы, то есть имидаzo[2,1-*b*][1,3,4]тиадиазольная часть имеет наибольший дипольный момент. Использование реакции электрофильного замещения для получения производных имидаzo[2,1-*b*][1,3,4]тиадиазолов делает этот способ очень удобным в синтетическом плане и позволяет с высокими выходами получать разнообразные по своему строению имидаzo[2,1-*b*][1,3,4]тиадиазолы.

2.1. Синтез и установление структуры

2,5-дibrom-6-(*n*-бром/йодофенил)имидаzo[2,1-*b*][1,3,4]тиадиазолы (3a-b)

Одним из направлений наших исследований была функционализация 2-бром-5H-6-(*n*-бром/йодофенил)имидаzo[2,1-*b*][1,3,4]тиадиазолов (2a-b) с молекулярным бромом, которая проводилась в среде ледяной уксусной кислоты при комнатной температуре, в результате было получено соединение (3a-b). Полученные соединения (3a-b) с выходом 98% представляют собой бесцветные кристаллические вещества, малорастворимые в EtOH, умеренно растворимые в ацетоне, этилацетате, легко растворимые в тёплых ДМФА, ДМСО и нерастворимые в эфире и неполярных растворителях.

Схема 2:



По сравнению с соединениями (2a-b), у 2,5-дibrom-6-(*n*-бром/йодофенил)имидаzo[2,1-*b*][1,3,4]тиадиазолов (3a-b) незначительно изменяется характер полос поглощения в данном гетероцикле. В ИК-спектре соединения (3a) в кристаллическом состоянии имеющиеся полосы поглощения в области 1585 cm^{-1} соответствуют валентным колебаниям C=N-фрагмента тиадиазольного кольца, а полоса поглощения в области 1518 cm^{-1} соответствует валентным колебаниям C=N-фрагмента имидаzo[2,1-*b*][1,3,4]тиадиазольного кольца. Для 2-C-Br и 5-C-Br полоса поглощения обнаружена в области 674 и 712 cm^{-1} в сильном поле. Полоса поглощения в области около 1490 cm^{-1} соответствует валентным колебаниям C=C-фрагмента для имидаzo[2,1-*b*][1,3,4]тиадиазольного кольца. Замещение атома водорода C(5)-H положения в соединении (2a) атомом брома приводит к изменению интенсивности соединения (3a). Характерная полоса поглощения в области 734 cm^{-1} соответствует валентным колебаниям C-S-C-фрагментов. Для *n*-бромфенильной группы, в зависимости от числа атомов водорода в замещённых бензольного кольца [229], обнаружено несколько плоских и неплоских деформационных колебаний в областях 1008, 1168, 963 и 827 cm^{-1} . Полоса поглощения валентного колебания $\delta_{\text{C-Hap}}$ проявлена в области «отпечатков пальцев» 963 и 1068 cm^{-1} .

В ИК-спектре соединения (3b) по сравнению с соединением (3a) полоса поглощения характерна имидаzo-тиадиазольному кольцу и проявлена в областях 1628, 1521, 732 cm^{-1} .

В ^1H ЯМР-спектре соединений (3a-b) не обнаружено протона 5-го положения, который имеется в соединениях (2a-b) при $\delta=7.8\text{-}7.9$ м.д. (1H, s, C(5)-H). Однако в соединениях (3a-b) обнаружены только протоны замещённого бензола в областях 7.56-7.88 и 7.67-7.93 м.д. В ^{13}C ЯМР-спектре соединения (3a) имеются химсдвиги, характерные и для имидаzo-тиадиазольного фрагмента, и для *n*-бромфенильной группы. Так, сравнение сигналов атомов углерода 2-бром-6-(*n*-бромфенил)имидаzo[2,1-*b*][1,3,4]-тиадиазола (2a) и 2,5-дibrom-6-(*n*-бромфенил)имидаzo[2,1-*b*][1,3,4]-тиадиазола (3a) показывает, что сигналы атомов углерода незначительно проявлены в сильном поле. Определено, что соединение (3a) имеет четыре характеристических сигнала имидаzo-тиадиазольного кольца в областях δ : 160.46 (s), м.д. (C-2); 144.77 (s), м.д. к C-7a; 141.42 (s), м.д. (C-6); 133.05 (s), м.д. и 92.63 (s) м.д., а для фенильной группы сигналы атомов углерода обнаружены в интенсивном поле при (C-i); 132.16 (s), м.д. (C-m); 126.65 (s), м.д. к (C-o); 121.98 (s), м.д. к (C-p).

2.2. Синтез и установление структуры

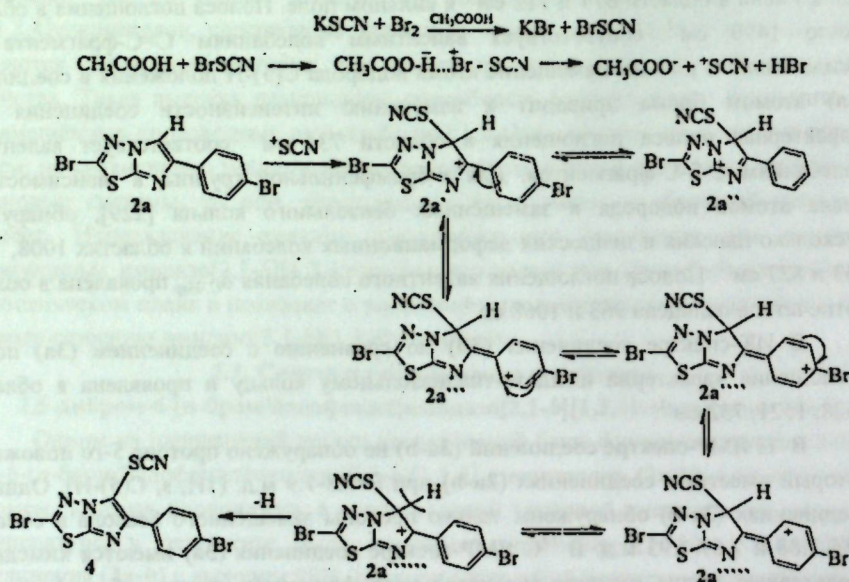
2-бром-5-тиоциано-6-(*n*-бромфенил)имидаzo[2,1-*b*][1,3,4]тиадиазола (4)

С целью исследования реакции электрофильного замещения соединения (2) нами изучена реакция тиоцианирования данного гетероцикла в присутствии эквимолярного количества молекулярного брома в среде уксусной кислоты при

комнатной температуре, что приводит к образованию 2-бром-5-тиоциано-6-(*n*-бромфенил)имидаzo[2,1-*b*][1,3,4]тиадиазола (4), строение которого доказано методами молекулярной спектроскопии.

Вероятные пути протекания реакции тиоцианирования 2-бром-6-(*n*-бромфенил)имидаzo[2,1-*b*][1,3,4]тиадиазола (2a) и образование резонансных структур σ-комплекса 2' и 2''.

Схема 3:



Как видно из механизма реакции, полученный бромтиоциан в уксусной кислоте является мягким тиоцианирующим агентом, используется для тиоцианирования гетероциклов. По-видимому, в данном растворе образуется ацетат тиоциана. Атака образующегося катиона тиоциана по положительному C(5)-Н соединения (2a), возможно, ведёт к образованию положительного заряда σ-комплекса 2a' и возникновению делокализации положительного заряда по двум направлениям. В делокализации принимают участие имидазольный фрагмент и бензольное кольцо. Положительный заряд, возникший в атомах углерода 6- и 8-го положения гетероцикла (2a-2a'''), распределяется в большей степени в о- и *n*-положениях фенильного ядра (2a''').

С использованием квантово-химических расчётов были получены данные, касающиеся минимума энергии и распределения зарядов в молекулах, позволяющие оценить влияние природы заместителя на энергетическую стабильность, как исходного 2-бром-6-(*n*-бромофенил)имидаzo[2,1-*b*][1,3,4]тиадиазола (2a), так и его

тиоцианатного производного. Установлено, что введение тиоцианатного радикала в состав структуры повышает энергетическую стабильность продукта реакции.

Полученное соединение представляет собой белое кристаллическое вещество, легкорастворимое в этаноле, изопропаноле, диоксане, ДМФА и ДМСО. Структура соединения (4) установлена методами ИК-, ¹Н- и ¹³С ЯМР-спектроскопии, а индивидуальность и ход реакции про контролированы методом тонкослойной хроматографии в системе дистиллового эфир-этанола при соотношении 3:1. Пятно обнаружено в йодной камере. При взаимодействии с соединением (2a) образуется 2-бромо-5-тиоциано-6-(*n*-бромфенил)имидаzo[2,1-*b*][1,3,4]-тиадиазол (4) с выходом 70%.

В ИК-спектре соединения (4) в кристаллическом состоянии полоса поглощения, характерная для тиоциановой группы, обнаружена в области 2065 cm^{-1} .

Следует отметить, что в результате тиоцианирования имидазольного фрагмента в спектре ЯМР ¹Н соединения (4), как и для всех описанных выше 6-(*n*-бромфенил)имидаzo[2,1-*b*][1,3,4]-тиадиазолов (2a)-(3a), появляются 4 сигнала СН-протонов, характерные для *n*-бромфенильной группы в виде сильно уширенных в области δ ¹Н NMR (400 MHz, CDCl₃) δ, 7.68 (m, 2H-*o*), 7.53 м.д. (s, 2H-*m*). Кроме того, в ¹Н ЯМР-спектрах соединения (4) ни в одном из случаев не обнаружен сигнал протона C(5)-Н от имидазольного фрагмента, что свидетельствует о селективности реакции замещения тиоцианирования.

2.3. Синтез и установление структуры N-((2-бром-6-(*n*-бромфенил)-имидаzo[2,1-*b*][1,3,4]тиадиазо-5-и.и.)метил)этанамина и N,N-((2-бром-6-(*n*-бромфенил)-имидаzo[2,1-*b*][1,3,4]тиадиазол-5-и.и.)метил)диметиламина (5)-(6)

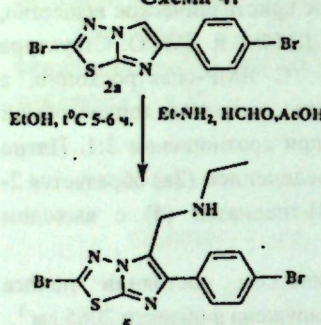
Использование реакции электрофильного замещения и реакции Манниха для получения производных имидазо[2,1-*b*][1,3,4]тиадиазолов делает этот способ очень удобным в синтетическом плане и позволяет получать с высокими выходами разнообразные по своему строению имидазо[2,1-*b*][1,3,4]тиадиазолы. Важной задачей современной науки является поиск новых путей применения этих легкодоступных субстратов в органическом синтезе.

В связи с этим, значительный интерес представляет расширение границ применимости реакции электрофильного замещения и реакции Манниха в ряду имидазо[2,1-*b*][1,3,4]тиадиазолов с использованием новых доступных и эффективных реагентов с получением полизамещённых тиадиазолов.

Нами была исследована реакция аминометилирования 2-бромо-6-(*n*-бромфенил)имидаzo[2,1-*b*][1,3,4]тиадиазола (2a) в условиях реакции Манниха. Реакция соединения (2a) с этиламином проводилась в присутствии формальдегида с добавлением уксусной кислоты при кипячении в этиловом спирте в течение 5 часов. В результате с высоким выходом синтезирован N-((2-бромо-6-(*n*-бромфенил)имидаzo[2,1-*b*][1,3,4]тиадиазо-5-и.и.)метил)этанамин (5). Реакция

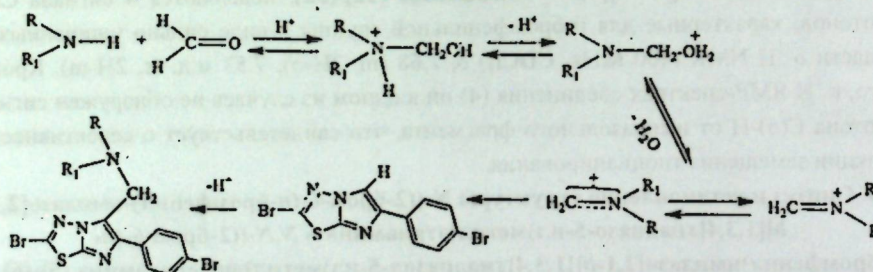
аминометилирования соединения (2а) протекает через иминиевые соли, которые образуются из формальдегида и аминов.

Схема 4:



Структура синтезированного соединения (5) установлена физико-химическими методами анализа. Так, в ИК-спектре соединения (5) полосы поглощения $-\text{CH}_2\text{-NH-Et}$ -группы в положении 5 в виде деформационных колебаний $-\text{CH}_2$ -группы обнаружены в области средней интенсивности ($1475\text{-}1340 \text{ cm}^{-1}$), а в области 3384 cm^{-1} для NH - и в высокочастотной области проявляют симметричный тип колебаний для CH_3 при 1345 cm^{-1} . Полоса валентных колебаний для C-N проявлена в среднем интенсивном поле при 1027 cm^{-1} .

Механизм:



Структура в¹ОВ синтезированного соединения (5) установлена физико-химическими методами анализа. Замена атома водорода в положении 5 соединения (2а) заместителем $\text{C}(5)\text{-CH}_2\text{-NH-Et}$ приводит к изменению интенсивности соединения (5) (таблица 1).

Таблица 1 - Термодинамические характеристики соединений (2а) и (5)

Соединение	E_{\min} , а.у.	E , (Thermal) KCal/Mol	CV, Cal/Mol- Kelvin	S, Cal/Mol- Kelvin
2	-6065.06828138	91.951	48.934	121.416
5	-6237.40252892	159.868	68.723	151.654

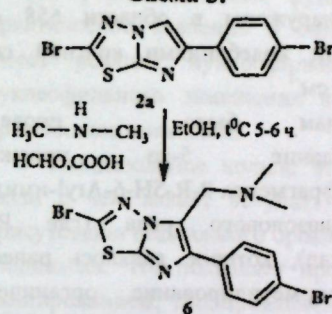
Результаты квантово-химических расчётов по построенным моделям предложенных структур (2а) и (5) показывают, что протон в положении 5 соединения (2а) является наиболее подвижным, как и в других случаях более реакционноспособным при обмене на более положительно заряженный радикал, что

подтверждают сделанные выше заключения о механизме и направленности реакции обсуждаемой схемы реакции (схема 4).

Результаты расчётов по предложенным структурам соединений (2а) и (5) показывают, что наиболее энергетически стабильным является соединение (5), о чём свидетельствует значение его минимума энергии.

Аналогично проведено аминометилирование соединения (2а) в условиях реакции Манниха диметиламином и формальдегидом в присутствии уксусной кислоты, которое приводит к образованию соединения (6), по сравнению с соединением (5) выход соединения (6) составляет 78%.

Схема 5:



Строение полученных соединений подтверждается ИК-, масс- и ЯМР ¹H, ¹³C-исследованиями и элементным анализом. В ИК-спектре соединения (6) полоса поглощения, характерная для имидазо-тиадиазольного фрагмента, обнаружена в высокочастотной области при 1597 (для C=N-тиадиазольного фрагмента), 1531 (для C=N-имидазольного фрагмента), 1471 (для C=C-имидазольного фрагмента), 705 (для C-S-C-тиадиазольного фрагмента) и 684 (для 2-C-Br) cm^{-1} .

Спектры ЯМР ¹H и ¹³C целевых соединений (5) и (6) содержали сигналы, характерные полученным соединениям.

На основе данных ИК- и ¹H, ¹³C ЯМР, масс-спектров и элементного анализа сформулированы общие положения и закономерности протекания реакции Манниха в ряду производных метиленактивных имидазо[2,1-*b*][1,3,4]-тиадиазолов.

2.4. С(5)-формилирование и галогенметилирование 2-бром-5Н-6-(*n*-бромфенил)имидазо[2,1-*b*][1,3,4]-тиадиазола путём реакций Вильсмеера-Хаака и Блана

Как известно, имидазо[2,1-*b*][1,3,4]-тиадиазол является бициклической ароматической системой, в связи с чем может вступать в реакции электрофильного замещения благодаря повышенной электронной плотности в 5-ом положении имидазо[2,1-*b*][1,3,4]-тиадиазольного цикла, что позволяет проводить структурную модификацию прямым С-формилированием, галогенметилированием и т.д., что может придать ему иные практические ценные свойства.

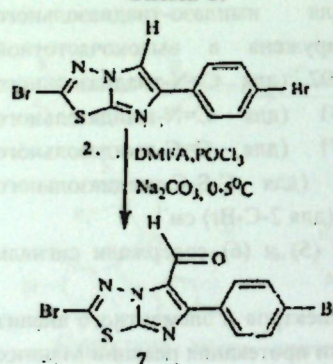
Реакция формилирования 5Н-производных имидазо[2,1-*b*][1,3,4]-тиадиазолов является одной из наиболее характерных и изученных реакций, которая протекает по механизму электрофильного присоединения через иминиевые соли, образующиеся из ДМФА и трихлорокси фосфора в присутствии кислоты. В условиях реакции Вильсмеера-Хаака соединения (2а) в сухом ДМФА и POCl_3 при

температуре 0-5°C приводит к образованию соответствующего 2-бром-6-(*n*-бромфенил)имиазо[2,1-*b*][1,3,4]тиадиазол-5-карбальдегида (7) с выходом 83%.

Строение соединения (7) подтверждается данными ИК-, ЯМР-, массспектроскопии и элементным анализом.

В ИК-спектре соединения (7) в кристаллическом состоянии наблюдается полоса поглощения в области 1654 cm^{-1} для C=N-фрагмента тиадиазольного цикла, а полоса поглощения для C=N-фрагмента имидазольного кольца проявляется в области 1585 cm^{-1} . Полоса поглощения в области 1476 cm^{-1} соответствует валентным колебаниям двойной связи C=C-фрагмента имидазольного кольца. Полоса поглощения C-S-C- для тиадиазольного кольца была обнаружена в области 698 cm^{-1} . Валентные колебания, характерные C-Br-, обнаружены в области 658 cm^{-1} . Интенсивные полосы, связанные с валентными колебаниями кратной связи альдегидной группы, наблюдаются в области 1673 cm^{-1} .

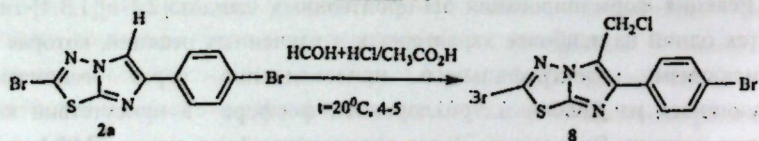
Схема 6:



Далее нам было проведено галогенистилирование 5-го положения имидазольного фрагмента 2-R-5H-6-Br-imidazo[2,1-*b*][1,3,4]тиадиазолового ряда (где R=Br, Agly=*n*-бром-фенил), которое являлось ранее не изученным. Хлорметилирование органических соединений может приобрести всё большее значение для сельскохозяйственного и медицинского применения. Реакция Бланя является мощным синтетическим методом синтеза новых модифицированных гетероциклических систем, в том числе производных

имидазо[2,1-*b*][1,3,4]тиадиазолов. В связи с этим, с помощью реакции Бланя нами был разработан новый функционализированный метод получения 2-Br-H-6-(*n*-бромфенил)имиазо[2,1-*b*][1,3,4]тиадиазола (8) с формальдегидом (1:1) в присутствии хлористого водорода, газообразного HCl и протекании постоянного тока. Установлено, что при взаимодействии соединения (2a) с формальдегидом и избытком соляной кислоты в среде уксусной кислоты при 20°C в течение 5-6 ч протекает реакция электрофильного замещения в 5-ом положении соединения (2a), приводящая к образованию 2-бром-5-хлорметилен-6-(*n*-бромфенил)имиазо[2,1-*b*][1,3,4]-тиадиазола, с выходом 53%.

Схема 7:



Спектры ИК-, ЯМР ^1H и ^{13}C соединений (7) и (8) содержали набор частот и сигналов, характерных полученным соединениям. Таким образом, в результате исследования установлено, что для соединений (7) и (8) электрофильному замещению подвергается водород в положении 5.

3. Функционализация и модификация 2-бром- и 2,5-дибром-6-(*n*-бром/йодофенил)имиазо-[2,1-*b*][1,3,4]-тиадиазолов (2a,b)-(3a,b) на основе реакции нуклеофильного замещения

Одним из удобных методов синтеза производных имидазо[2,1-*b*][1,3,4]тиадиазолов с целью повышения их биоактивных свойств является введение и трансформация новых функциональных групп в эти соединения. Важное практическое значение в синтезе замещенных имидазо[2,1-*b*][1,3,4]тиадиазолов имеет реакция нуклеофильного замещения. Поэтому изучению реакций нуклеофильного замещения в имидазо[2,1-*b*][1,3,4]тиадиазолов уделяется столь пристальное внимание.

Имидазольное кольцо является бициклической ароматической системой, в связи с чем может вступать в реакции нуклеофильного замещения благодаря присутствию подвижного брома во 2-ом положении молекулы имидазо[2,1-*b*][1,3,4]-тиадиазола, что позволяет проводить структурную модификацию прямым C(2)-аминированием, тиолированием, тиоционированием и т.д., что может придать ему иные практические ценные свойства.

3.1. Модификация 2-бром- и 2,5-дибром-6-(*n*-бром/йодофенил)имиазо-[2,1-*b*][1,3,4]-тиадиазолов (2a-b)-(3a-b) гидразингидратом и первичными аминами

С целью поиска новых соединений с потенциальной биологической активностью и дальнейшего изучения химических свойств 2-бром- и 2,5-дибром-6-(*n*-бром/йодофенил)имиазо[2,1-*b*][1,3,4]тиадиазолов (2a-b)-(3a-b), мы исследовали реакции нуклеофильного замещения атома брома данного гетероцикла с гидразином, этиламином, бутиламином, изучили их химические свойства с уксусным ангидрилом и провели качественное сравнение физико-химических свойств полученных соединений.

Производные гидразина широко используются в синтезе новых азотсодержащих гетероциклических соединений, а также в синтезе различных полезных органических соединений. Наличие гидразинового фрагмента в молекуле органических соединений даёт возможность синтезировать различные конденсированные и ациклические соединения.

Введение гидразинового фрагмента в молекулы гетероциклических систем позволяет проводить различные синтезы с целью получения новых азотсодержащих гетероциклических систем. В частности, введение гидразинового фрагмента во второе положение имидазо[2,1-*b*][1,3,4]тиадиазолового цикла позволяет получить

различные производные этого класса и расширяет ассортимент новых биологически активных веществ. При нагревании 2-бензилтио-5R-6-R₁-имидаzo[2,1-*b*][1,3,4]-тиадиазола (где R=H, CH₃; R₁=Me, Ph, *n*-Br-Ph) с гидразингидратом в среде этанола происходит расщепление тиадиазольного фрагмента имидазо[2,1-*b*][1,3,4]тиадиазольного кольца. Также исследовано расщепление тиадиазольного фрагмента имидазо[2,1-*b*][1,3,4]тиадиазольного кольца при нагревании с раствором 5и NaOH.

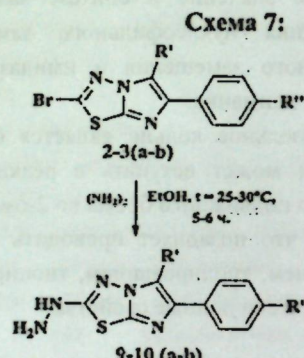
С целью избегания этих трудностей, нами была исследована реакция гидразингидрата с 2-бром-6-(*n*-бром/йодофенил)имидаzo[2,1-*b*][1,3,4]тиадиазолом (2a-b) в среде этанола при комнатной температуре. При добавлении гидразина в реакционную среду она начинает разогреваться.

В синтезе 6-(*n*-бром/йодо-фенил)-2-гидразинилимидаzo[2,1-*b*][1,3,4]-тиадиазола (9a-b) и (10a-b) были использованы различные реакционные среды: диоксан, ТГФ, этанол, метанол, изопропанол и пиридин. Для гидразингидрата наиболее приемлемой реакционной средой является этанол и метанол. Результаты исследования показывают, что, несмотря на наличие атомов брома в положениях 2, 5 и положений 6-(*n*-бром/йодофенил)-а соединений (2a-b) и (3a-b), бром в положении 2 остается подвижным и вступает в реакцию нуклеофильного замещения.

Во избежание образования побочных продуктов, гидразин растворяли в этаноле и по каплям добавляли в реакционную среду. При этом выход конечных продуктов достигал 52-53%. Реакция проходит селективно, замещается только атом брома во втором положении цикла, атомы брома и йода *n*-бром/йодофенильной группы не замещаются.

Структура соединений (9a-b)-(10a-b) установлена с использованием ИК-, ЯМР-спектроскопии и элементным анализом.

Для соединения (9a) обнаружена полоса поглощения в области 1471 (C=C), 1528 (C=N) и 1583 (C=N) см⁻¹, а также 680 см⁻¹ (C-S-C) для имидазо-тиадиазольного фрагмента. Полоса поглощения в области 3119 см⁻¹ характерна для N-H-гидразинового фрагмента. Полоса поглощения обнаружена в области 3097 см⁻¹. Кроме этого, для *n*-бромфенильной группы обнаружены плоские и неплоские деформационные колебания в области 1190, 1146 и 929, 842 см⁻¹.



R'=H (2a-b; 9a-b); Br (3a-b, 10a-b);
R''=Br (2a, 3a, 9a, 10a); R''=I (2b, 3b, 9b, 10b).

9-10 (a-b)

В соединении (10a) полосы поглощения деформационного колебания СН-бензольного кольца обнаружены в области 861 и 1193-966 см⁻¹. Наличие гидразин-группы было обнаружено в виде неплоских деформационных колебаний при 839 и 820 см⁻¹ для NH₂ в среднем интенсивном поле.

Молекулы соединений (9a-b)-(10a-b) под влиянием факторов упаковки молекул в кристаллическом состоянии не могут ориентироваться по направлению, какое требуется для образования межмолекулярной H-связи NH...p-неподеленных электронов; другими словами, конфигурация этих соединений является энергетически наиболее выгодной в их кристаллическом состоянии (рисунок 1). Органические молекулярные кристаллы вступают в межмолекулярное взаимодействие, и его интенсивность зависит от кристаллохимических свойств исходных компонентов. Чем ближе параметры кристаллических ячеек, тем более вероятно взаимодействие между ними.

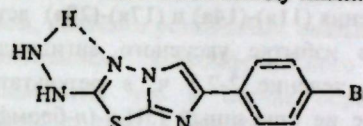
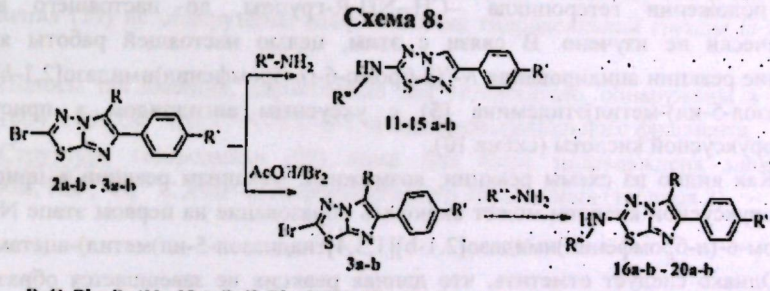


Рисунок 1—Образование внутримолекулярной H-связи -HN-NH₂...p-неподеленных электронов атома N(3) в тиадиазольном фрагменте соединений (9a-b)-(10a-b).

6-(4-бромфенил)-2-гидразинилимидаzo[2,1-*b*][1,3,4]тиадиазоле (9a-b)-(10a-b).

Далее, в продолжение исследований, мы уделяли внимание взаимодействию соединений (2a-b) и (3a-b) с первичными аминами. При взаимодействии соединений (2) и (3) со спиртовым раствором первичных аминов в течение 3-4 часов получены соответствующие 2-аминопроизводные 6-(*n*-бром-/йодофенил)имидаzo[2,1-*b*][1,3,4]-тиадиазола (11a-b)-(20a-b) с выходом 70-73%. Реакции проводились в среде этанола при соотношении 1:2.



R=H, R' = Br (11a-15a); R=H, R' = I (11b-15b); R = R' = Br; (16a-20a); R=Br, R'=I (16b-20b)

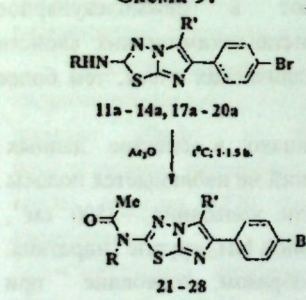
Результаты исследования показывают, что несмотря на наличие атомов брома и йода в положении 6-(*n*-бромфенил), 6-(*n*-йодофенил) и С(5)-Br-а в соединениях (2а-б)-(3а-б), бром в положении 2 остается подвижным и вступает в реакцию нуклеофильного замещения.

3.2. Ацилирование 2-RNH- и 5-RNHCH₂-производных 6-(*n*-бромфенил)-

имидаzo[2,1-*b*][1,3,4]тиадиазола с уксусным ангидридом

Одним из удобных подходов к изменению углеродного скелета молекулы в органической химии, в том числе в гетероциклических соединениях, с целью придания им новых свойств является реакция ацилирования.

Схема 9:



R = Me, Et, Pr, Bu; R' = H.
R = Me, Et, Pr, Bu; R' = Br.

выходами (78-80%). Установлено, что при ацилировании соединений (11а)-(14а) и (17а)-(20а) уксусным ангидридом реакция ацилирования идет по аминогруппе, в результате образуются соединения (21)-(28), что подтверждается литературными данными.

В продолжение исследований в области реакций ацилирования NH-содержащих субстратов мы уделили внимание ацилированию N-((2-бromo-6-(*n*-бромфенил)имидаzo[2,1-*b*][1,3,4]тиадиазол-5-ил)метил)этанамина (5) с уксусным ангидридом, что является одним из наиболее удобных и эффективных способов формирования ацилпроизводных имидаzo[2,1-*b*][1,3,4]тиадиазолов.

Ацилирование производных имидаzo[2,1-*b*][1,3,4]тиадиазола, содержащего в 5-ом положении гетероцикла -CH₂-NH-R-группы, до настоящего времени практически не изучено. В связи с этим, целью настоящей работы является изучение реакции ацилирования N-((2-бromo-6-(*n*-бромфенил)имидаzo[2,1-*b*][1,3,4]-тиадиазол-5-ил)-метил)этанамина (5) с уксусным ангидридом в присутствии трифтормусной кислоты (схема 10).

Как видно из схемы реакции, возможный механизм реакции в присутствии трифтормусной кислоты может включать образование на первом этапе N-этил-N-((2-бromo-6-(*n*-бромфенил)имидаzo[2,1-*b*][1,3,4]тиадиазол-5-ил)метил)-ацетамида (5а). Однако следует отметить, что данная реакция не завершается образованием

ацетамида (5а), участвующая в реакции трифтормусная кислота способствует протонированию карбонильного атома углерода (5а) с последующим образованием промежуточного гидроксилсодержащего карбкатиона (5b).

Далее карбкатион промежуточного продукта (5b) стабилизируется за счёт электронной плотности орто-положения *n*-бромсодержащего ароматического кольца электрофильным присоединением, тем самым замыканием нового азепинового кольца (5c). В условиях реакции гидроксильная группа промежуточного продукта (5c) протонируется за счёт трифтормусной кислоты с образованием 3-бром-6-этил-5,10-диметил-6,7,7a12a-тетрагидро-5Н-[1,3,4]-тиадиазоло[3',2':2,3]имидаzo[4,5-с]-бензо[е]азепин-5-ола (5d) и последующим отщеплением молекулы воды (5e). Возможно, что именно на стадии образования соединения (5b) закладывается стереохимия продуктов реакции. Очевиден тот факт, что объём *n*-брому-фенильного заместителя будет занимать стерически выгодное орто-положение; таким образом, наиболее устойчивым оказывается соединение (5c) с анти-перипланарным расположением *n*-брому-фенильного заместителя. Таким образом, можно предположить, что в случае образования предпочтительного возникновения карбкатиона (5b) реакция протекает, как внутримолекулярное электрофильное замещение с образованием соединения (5c), приводящего к элиминированию протона орто-положения *n*-брому-фенила и образованию соединения (5d). Далее при протонировании (5d) выделяет воду и образует карбкатион (5e), который при смещении *n*-делокализованных электронов и отрыве протона приобретает более устойчивый вид 3,10-дигром-6-этил-5-метил-6Н-[1,3,4]тиадиазоло[2',3':2,3]-имидаzo[4,5-с]бензо[е]азепина (29).

Соединение (29) представляет собой белое кристаллическое вещество, хорошо растворимое в протонных и аprotонных органических растворителях.

Интерпретация поглощения соединения (29) показала, что полосы поглощения свободной группы 6-*n*-Br-C₆H₄ не наблюдаются в области 3050-3070 cm⁻¹.

Для CH₂-CH₃ характерная полоса поглощения обнаружена в области 1431-1443, а в области 1344 cm⁻¹ - для CH-группы. Валентные колебания C-N наблюдаются в области 1201-1181 cm⁻¹. Необходимо отметить, что в ИК-спектре соединения (29) не обнаружены следы наличия гидроксильной группы (3300-3500 cm⁻¹).

Полосы поглощения, характерные для гетероцикла, обнаружены в области 1540, 1604 и 692 cm⁻¹ для C=N- и C-S-C-имидаzoтиадиазольного фрагмента.

Структура гетероцикла (29) нами Для была подтверждена элементным анализом, ИК-, ¹H, ¹³C ЯМР-спектроскопией его образования (таблица 2).

Схема 10:

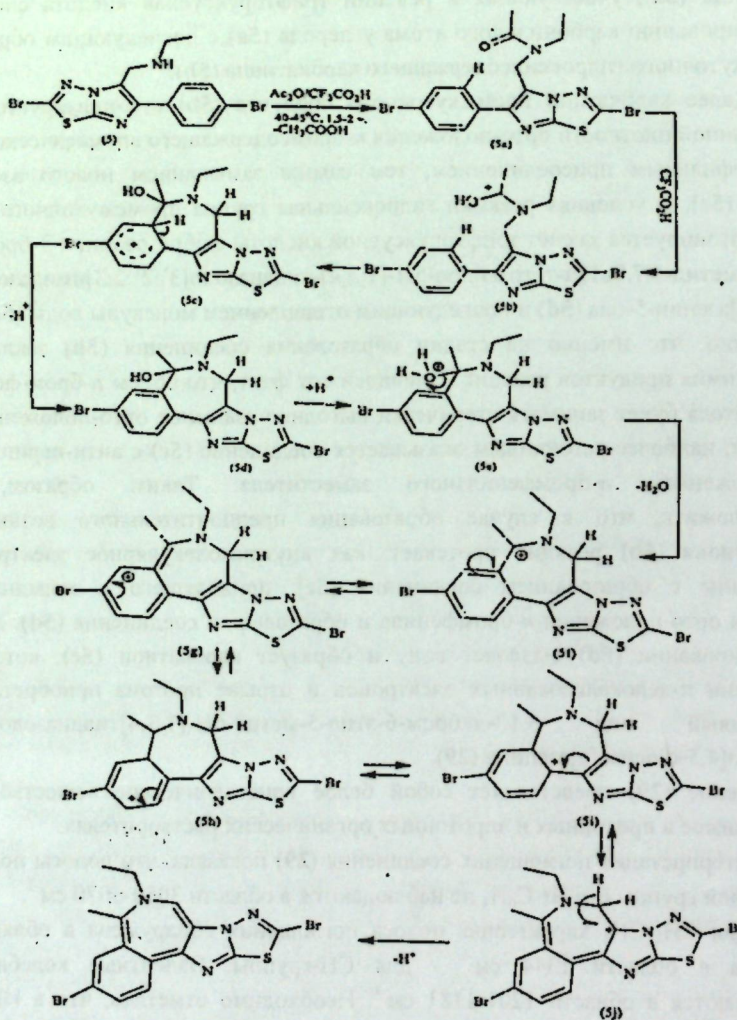


Таблица 2 - Термодинамические характеристики соединений

Соединение	E_{min} , a.u.	E (Thermal) KCal/Mol	CV Cal/Mol- Kelvin	S Cal/Mol- Kelvin
5	-6237.40252892	159.868	68.723	151.654
5a	-6389.23011625	186.255	80.128	163.546
29	-6313.15075960	167.453	74.103	148.557

Полученные данные по приведённой выше схеме подтверждают результаты

квантово-химических расчетов, с использованием компьютерной программы "Gaussian".

Расчёты по структурам показывают, что наиболее энергетически стабильным является соединение (29), о чём свидетельствует значение его энтропии (S):

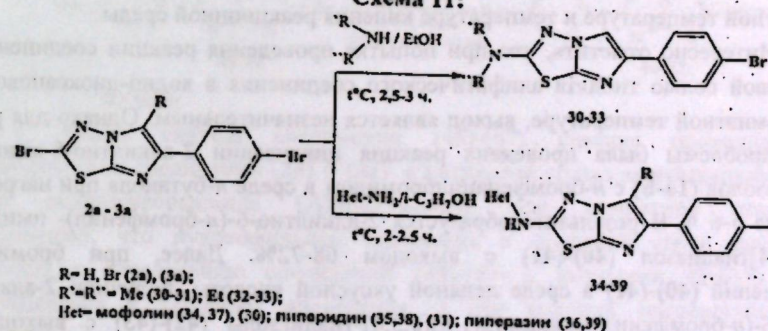
Таким образом, взаимодействие (5) с уксусным ангидридом в указанных условиях протекает, как региоселективный процесс и приводит к образованию 3,10-дигром-6-этил-5-метил-6Н-[1,3,4]тиадиазоло[2',3':2,3]имида-зо[4,5-с]бензо[е]азепина (29).

3.3. Взаимодействие 2-бром-6-(*n*-бромфенилимидаzo[2,1-*b*][1,3,4]тиадиазола (2) с вторичными аминами

С целью изучения реакции нуклеофильного замещения 2-бром- и 2,5-дигром-6-(*n*-бромфенилимидаzo[2,1-*b*][1,3,4]тиадиазолов (2a)-(3a) и последующего поиска новых биологически активных соединений в ряду имидотиадиазолов нами впервые проведены реакции замещения атома брома в соединениях (2a) и (3a) на различные замещённые амины.

Соединения (2a) и (3a) энергично реагируют со вторичными аминами при соотношении 1:2 в этиловом спирте с образованием соединений (30)-(39) с хорошими выходами (76-78%) по схеме 11.

Схема 11:



R= H, Br (2a), (3a);
R=R'= Me (30-31); Et (32-33);
Het= морфин (34, 37), (36); пиперидин (35, 38), (31); пиперазин (36, 39)

Обнаружено, что в реакциях нуклеофильного замещения вторичные амины по сравнению с первичными алифатическими аминами при температуре 50°C легко вступают в реакции замещения с соединениями (2) и (3). Установлено, что при аминировании соединений (2) и (3) с вторичными аминами аминирование идёт по атому C(2)-Br-цикла, не затрагивая бром 4-го положения в *n*-Br-C₆H₄ и 5-го положения имидазольного фрагмента.

3.4. Взаимодействие 2-бром- и 2,5-дигром-6-(*n*-бромфенилимидаzo[2,1-*b*]-[1,3,4]тиадиазола (2a)-(3a) с различными тиолями

Одним из наиболее простых и рациональных подходов к получению функционально замещённых имидазо[2,1-*b*][1,3,4]тиадиазолов является реакция

нуклеофильного замещения производных имидазо[2,1-*b*][1,3,4]-тиадиазолов, содержащих во 2 положении гетероцикла галогенактивный заместитель - тиолят.

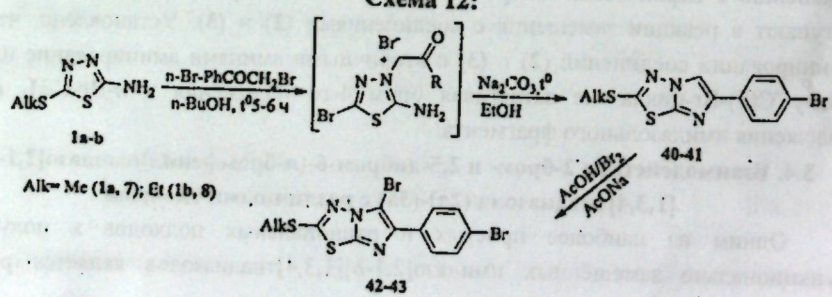
Исходя из этого, было интересно получить новые 2-сульфидные производные имидазо[2,1-*b*][1,3,4]тиадиазола с последующим переходом к исследованию биологической активности синтезированных соединений. Для выполнения этой задачи были исследованы два метода синтеза 6-(4-бромфенил)-2-(алкилио)имидазо[2,1-*b*][1,3,4]тиадиазолов: 1) замещение брома во втором положении соединения (2a) различными серосодержащими нуклеофильными реагентами; 2) непосредственное взаимодействие 2-алкилио-5-амино-1,3,4-тиадиазолов с *n*-бромфенацилбромидом, что приводит к образованию 6-(*n*-бромфенил)-2-(алкилио)имидазо[2,1-*b*][1,3,4]тиадиазола.

Реакция соединения (2a) с N(R)₂-дитиокарбаматами, алкил- и гетерилтиолятами протекает в разных условиях.

Для подтверждения подвижности атома брома 2-го положения гетероцикла и нереакционной способности брома 4-го положения фенильной группы, была исследована реакция нуклеофильного замещения брома 2-бром-6-(*n*-бромфенил)имидазо[2,1-*b*][1,3,4]тиадиазола (2a) с метил- и этилтиолятами, натриевой солью N(C₂H₅)₂-дитиокарбаматом, 2-фенил-5-тио-1,3,4-оксодиазолом, 2-метил-5-тио-1,3,4-триазолом, тиоцианатом калия в спирте и в смеси ДМФА-спирт при комнатной температуре и температуре кипения реакционной среды.

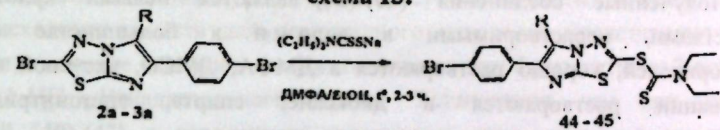
Интересно отметить, что при попытке проведения реакции соединения (2) с натриевой солью тиолата алифатического соединения в водно-диоксановой среде при комнатной температуре, выход является неизначительным. Однако для решения этой проблемы была проведена реакция циклизации 2-алкилио-5-амино-1,3,4-тиадиазолов (1a-b) с *n*-бромфенацилбромидом в среде *n*-бутианола при нагревании в течение 5-6 ч. В результате образуется 2-алкилио-6-(*n*-бромфенил)-имидазо[2,1-*b*][1,3,4]тиадиазол (40)-(41) с выходом 68-72%. Далее, при бромировании соединений (40)-(41) в среде ледяной уксусной кислоты, получили 2-алкилио-5-бром-6-(*n*-бромфенил)имидазо[2,1-*b*][1,3,4]тиадиазолы (42)-(43) с выходами 70-73%. Реакция протекает по следующей схеме:

Схема 12:



Реакция соединения (2a) с натриевой солью (C₂H₅)₂N-CSSNa была проведена в ДМФА-спиртовой среде при температуре кипения реакционной среды. Обнаружено, что при данных условиях реакции замещается только бром, находящийся в положении 2, в результате реакции образуется S-(6-(*n*-бромфенил)имидазо[2,1-*b*][1,3,4]тиадиазол-2-ил)-N,N-диэтилдитиоарбамат (44).

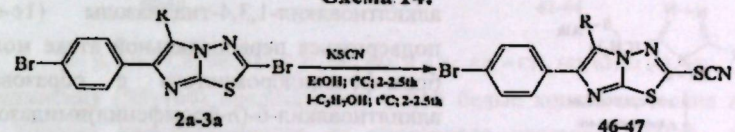
схема 13:



R = H (2a, 45); Br (3a, 46)

Механизм получения производных имидазо[2,1-*b*][1,3,4]тиадиазолов заключается во взаимодействии соединений (2a) и (3a) с роданидом калия в среде этанола при нагревании в течение 2-2.5 ч. При этом образуются 2-тиоциан-6-(*n*-бромфенил)имидазо[2,1-*b*][1,3,4]тиадиазол (46) и 2-тиоциан-5-бром-6-(*n*-бромфенил)имидазо[2,1-*b*][1,3,4]тиадиазол (47), что можно использовать, как ключевой элемент соединения для синтеза серии производных имидазотиадиазолов.

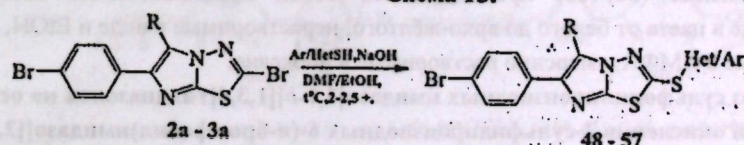
схема 14:



R = H, Br

С целью синтеза соединений (48)-(57) реакция проводилась при взаимодействии соединений (2a) и (3a) с натриевой солью арил/гетерилтиолятов в среде диметилформамида (ДМФА)-спирта при комнатной температуре. Установлено, что нуклеофильное замещение в основной среде при 25-30°C приводит к образованию соединений (48)-(57) с выходами 78-83%. Реакция чувствительна к условиям проведения, а при высокой температуре реакция протекает с расщеплением тиадиазольного фрагмента.

схема 15:



R = H (2a, 48, 50, 52, 54, 56); Br (3a, 49, 51, 53, 55, 57)

Ar = PhS (48 - 49); Het = 5-phenyl-1,3,4-oxadiazole (50 - 51); 5-methyl-2-thio-1,3,4-triazole (52 - 53); 2,5-dithiol-1,3,4-thiadiazole (54 - 55); 5-propylamide-2-thio-1,3,4-thiadiazole (56-57)

Установлено, что бром в 5-ом положении и в *n*-бромфенильной группе соединений (2а) и (3а) не способен к замещению даже при избытке тиолята и при продолжительном нагревании реакционной смеси, что согласуется с литературными данными и при качественном сравнении физико-химических свойств соединений (40)-(57) с соединениями (2а)-(3а).

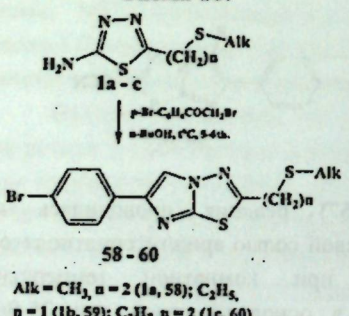
Полученные соединения (40)-(57) являются белыми кристаллическими веществами, нерастворимыми в воде и в большинстве органических растворителей, хорошо растворяются в ДМФА, ДМСО, уксусной кислоте. При нагревании растворяются в диоксане, спирте, ацетонитриле, хорошо кристаллизуются из водно-диоксанового раствора.

Состав и структура соединений (40)-(57) подтверждены элементным анализом, ¹H ЯМР, ¹³C-ЯМР и ИК-спектроскопией.

3.5. Синтез 2-алкилтиоалкиленпроизводных 6-(4-бромфенил)имидаzo[2,1-*b*]-[1,3,4]-тиадиазолов

2-Амино-5-алкилтиоалкилен-1,3,4-тиадиазолы являются доступным сырьем, используемым в синтезе конденсированных 1,3,4-тиадиазолов.

Схема 16:



Благодаря амин-имино тautомерии, 2-амино-5-алкилтиоалкилен-1,3,4-тиадиазолы (1c-e) могут подвергаться первоначальной атаке молекулой *n*-бром-фенацилбромистого с образованием 2-алкилтиоалкилен-6-(*n*-бромфенил)имидаzo[2,1-*b*]-[1,3,4]-тиадиазолов (58)-(60). Установлено, что образование соединений (58)-(60) имеет одностадийный характер, без выделения промежуточных продуктов, и при внутримолекулярных нуклеофильных атаках иминных групп с карбкатионом карбонильных групп образуют целевые продукты.

Структура соединений (58)-(60) установлена методом элементного анализа, ИК-, ¹H, ¹³C ЯМР-спектрометрией.

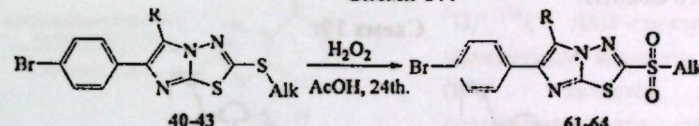
Соединения (58)-(60) представляются собой кристаллические вещества, окрашенные в цвета от белого до ярко-жёлтого, нерастворимые в воде и EtOH , легко растворимые в ДМФА, умеренно растворимые в диоксане.

3.6. Синтез сульфонилпроизводных имидаzo[2,1-*b*][1,3,4]-тиадиазолов на основе реакций окисления 2-сульфидпроизводных 6-(*n*-бромфенил)имидаzo[2,1-*b*][1,3,4]-тиадиазола (61)-(62)

Реакции окисления сульфидпроизводных имидаzo[2,1-*b*][1,3,4]-тиадиазолов являются перспективными, поскольку таким путём могут быть синтезированы соединения с высокими биологическими свойствами. Среди окислительных агентов перекись водорода является одним из удобных и доступных агентов для

модифицированных сульфидпроизводных имидаzo[2,1-*b*][1,3,4]-тиадиазолов в сульфонилпроизводных имидаzo[2,1-*b*][1,3,4]-тиадиазолов. При наличии в кольце имидаzo[2,1-*b*][1,3,4]-тиадиазолов алкилсульфидных и алкилтиоалкиленных групп, которые способны подвергаться окислению, использование H_2O_2 является селективным методом для модификации сульфидных фрагментов молекулы в условиях комнатной температуры в среде уксусной кислоты. В связи с этим в качестве исходных веществ для пероксидного окисления представляют интерес соединения, имеющие алкилтио- и алкилтиоалкиленные фрагменты во 2 положении имидаzo[2,1-*b*][1,3,4]-тиадиазольного кольца. Установлено, что при окислении соединений (40)-(43) с пероксидом водорода в среде уксусной кислоты при комнатной температуре получены соответствующие производные 2-алкил/алкилсульфонилалкил-6-(*n*-бромфенил)имидаzo[2,1-*b*][1,3,4]-тиадиазолы (61)-(64) с хорошими выходами 73-74%.

Схема 17:

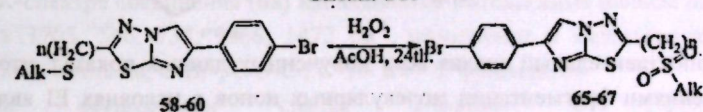


R = H, Alk = CH_3 (40, 61); C_2H_5 (41, 62); R = Br, Alk = CH_3 (42, 63) Et (43, 64).

Соединения (53)-(60) представляют собой белые кристаллические вещества, которые хорошо кристаллизуются из спиртового раствора ДМФА, диоксана, хлороформа при нагревании.

Дальнейшей задачей нашего исследования являлись реакции окисления соединений (58)-(60) в среде уксусной кислоты с пероксидом водорода при комнатной температуре, в результате получены соответствующие 2-алкилалкиленсульфонилпроизводные 6-(*n*-бромфенил)имидаzo[2,1-*b*][1,3,4]-тиадиазолов (65)-(67), с хорошими выходами (67-72%).

Схема 18:



Alk = CH_3 , n = 2 (58, 65); Et, n = 1 (59, 66); C_2H_5 , n = 2 (60, 67)

Соединения (65)-(67) представляют собой белые кристаллические вещества, которые хорошо кристаллизуются из спиртового раствора ДМФА, диоксана, хлороформа при нагревании.

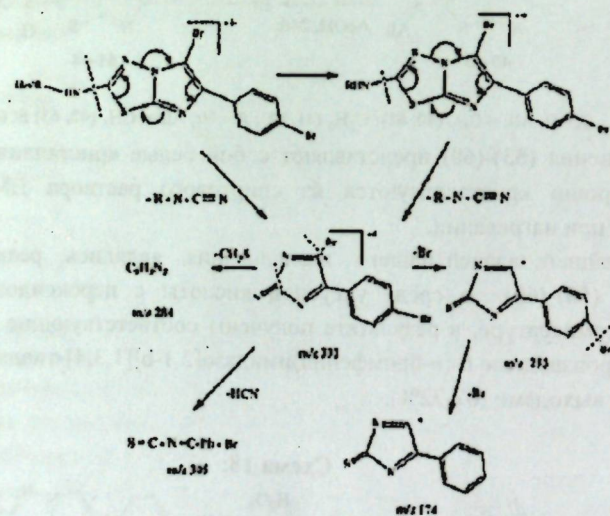
Для установления структуры соединений (61)-(67) сняты ИК-, ^1H , ^{13}C ЯМР-спектры, получен элементный анализ, а чистота соединений проверена методом ТСХ в системе бутанол-бензол (3:1).

3.7. Масс-спектры конденсированных производных 2-бром-6-(*n*-бромфенил)-имидазо[2,1-*b*][1,3,4]тиадиазола

Методом масс-спектрометрии с применением различных видов ионизации установлены характерные фрагменты ионов для производных 2-бром-6-(*n*-бромфенил)имидазо[2,1-*b*][1,3,4]тиадиазолов.

Установлено, что при фрагментации производных 2-бromo-6-(4-бромфенил)имидазо[2,1-*b*][1,3,4]тиадиазола основным направлением фрагментации молекулярных ионов в условиях EI является отрыв атома водорода, что характерно для ароматических и конденсированных структур, приведены результаты масс-спектрального анализа.

Схема 19:

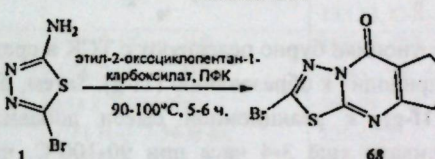


Сопоставительный анализ всех полученных данных показал, что основными направлениями фрагментации молекулярных ионов в условиях EI является отрыв атома водорода, а также отрыв R-N-цианильных групп, характерный для алкиламин- и гетериламин-производных имидазо[2,1-*b*][1,3,4]-тиадиазольных циклов. Общий обзор фрагментации производных 2-Het/R-5-бром-6-(*n*-бромфенил)имидазо[2,1-*b*][1,3,4]тиадиазолов в условиях электронной ионизации изображен на схеме 19.

4. Синтез производных 2-бром-7,8-дигидроциклогептена[*d*][1,3,4]-тиадиазоло[3,2-*a*]пиримидин-5(6Н)-она

Трициклические производные тиадиазолов, содержащие пиримидиновый фрагмент, являются малоизученными и наиболее труднодоступными соединениями среди ряда поликонденсированных производных 1,3,4-тиадиазолов. Среди них обнаружены соединения, обладающие различными видами биологической активности, например, производные 1,3,4-тиадиазоло[2,3-*b*]-хиназолина обладают широким спектром биологического действия. Вместе с тем, до настоящего времени в незначительном объеме в литературе опубликованы данные о свойствах поликонденсированных трёхциклических 1,3,4-тиадиазолов. В связи с этим, синтез новых трёхциклических конденсированных производных 1,3,4-тиадиазолов представляет важную и актуальную задачу органической и медицинской химии.

Схема 20:



Состав и структура соединения (68) подтверждена ИК-, ^1H , ^{13}C ЯМР-спектроскопией и элементным анализом. Соединение (68) является ключевым соединением для синтеза серии производных тетрациклических

конденсированных производных 1,3,4-тиадиазоло[3,2-*a*]пиримидинов. 2-Бромо-5-оксо-5Н-циклогептано[4,5-*d*][1,3,4]-тиадиазоло[3,2-*a*]пиримидин-5(6Н)-она (68) представляет собой белое кристаллическое вещество. Перекристаллизовывается из *n*-бутилола и ДМСО и при нагревании хорошо растворяется в большинстве органических растворителей.

Изучено взаимодействие 2-амино-5-бром-1,3,4-тиадиазола и этилового эфира циклогептан-2-она карбоновой кислоты в среде ПФК, которое приводит к образованию 2-бром-7,8-дигидроциклогептен[*d*][1,3,4]тиадиазоло[3,2-*a*]пиримидин-5(6Н)-она (68) с выходом 68%. Полученное соединение и его аналоги до настоящего времени в полной мере не изучены.

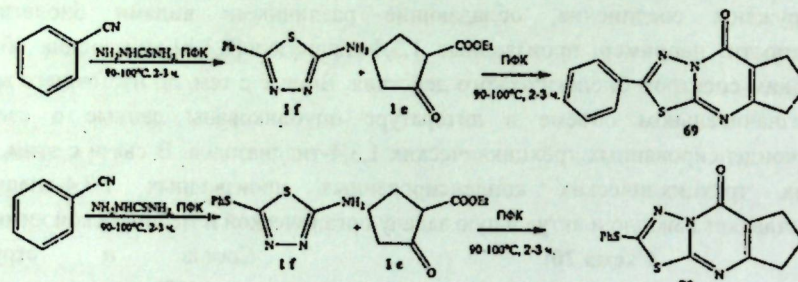
В ИК-спектре соединения (68) наблюдаются интенсивные полосы поглощения в областях 1705, 566, 738, 1566, 1472 cm^{-1} , отнесенные к карбонильной группе пиримидинового кольца, C-Br-, C-S-C-, C=N- и C=C-фрагментов.

Нами осуществлен синтез 2-фенил- и 2-фенилтио-7,8-дигидроциклогептана[*d*][1,3,4]тиадиазоло[3,2-*a*]пиримидин-5(6Н)-она (69)-(70) на основе взаимодействия бензонитрила (бензотиоциана), тиосемикарбазида и этилового эфира циклогептан-2-она карбоновой кислоты (1e) в среде ПФК с хорошим выходом.

Реакция трёхступенчатой конденсации бенzonитрила (или бензотиоциана), тиосемикарбазида (ТСК) и этилового эфира циклогептан-2-она карбоновой кислоты

(1e) является эффективным способом конструирования 7,8-дигидроцикlopентан[*d*][1,3,4]тиадиазоло[3,2-*a*]пиrimидин-5(6*H*)-оновой системы в рамках однореакторного синтеза из доступных исходных реагентов. Реакция протекает по схеме 21.

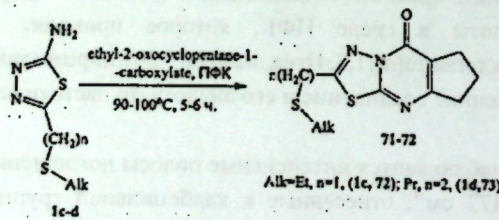
Схема 21:



Установлено, что бенzonитрил и бензотиоциан бурно реагируют с ТСК в среде ПФК при нагревании в течение 2-3 ч, что приводит к образованию (1f-g). Затем, без выделения промежуточных продуктов (1f-g), к реакционной смеси добавили эквимолярное количество (1e) и перемешивали ещё 3-4 часа при 90-100°C, что приводит к образованию соединений (69)-(70) с выходами 65 и 67%.

Нами было установлено, что при циклоприсоединении 2-амино-5-алкилтиоалкилен-1,3,4-тиадиазолов (1c-d) с этиловым эфиром цикlopентан-2-он карбоновой кислоты (1e) при нагревании в среде ПФК легко образуются новые гетероциклические системы - 2-алкилтиоалкил-7,8-дигидроцикlopентан[*d*]-[1,3,4]-тиадиазоло[3,2-*a*]пиrimидин-5(6*H*)-оны (71)-(72) с хорошими выходами (70 и 67.60%).

Схема 22:



Соединения (71) и (72) нерастворимы в диэтиловом эфире и ацетоне, малорастворимы в хлороформе и EtOH, растворимы в ДМФА, ДМСО и горячем н-бутаноле. Полученные продукты охарактеризованы методом ИК-, ЯМР ¹H и ¹³C-спектроскопии.

Таким образом, реакция взаимодействия 2-амино-5-алкилтиоалкилен-1,3,4-тиадиазолов (1c-d) с этиловым эфиром цикlopентан-2-он карбоновой кислоты (1e) в среде ПФК открывает возможность для получения производных 2-сульфидпроизводных конденсированных 1,3,4-тиадиазоло[3,2-*a*]пиrimидинов. На основе полученных данных можно предположить, что под влиянием -M, -I-эффектов кислорода карбонильной группы и заместителя во 2-ом положении гетероцикла, изменяют распределение электронной плотности в соединениях II, Па

и IIb, и этим изменяется относительная интенсивность некоторых пиков, в частности интенсивности валентных колебаний атомов в кольце.

Соединения (71)-(72) представляют собой порошки жёлтого цвета, нерастворимые в ацетоне, незначительно растворимые EtOH, хлороформе, растворимые в ДМФА, ДМСО и горячем н-бутаноле. Строение 2-алкилтиоалкил-7,8-дигидроцикlopентан[*d*]-[1,3,4]-тиадиазоло[3,2-*a*]пиrimидин-5(6*H*)-ов (68)-(72) было подтверждено методами ИК-, ЯМР ¹H и ¹³C-спектрометрией, а состав элементным анализом (таблица 3).

Таблица 3 - Спектральные характеристики соединений (68)-(72)

№	¹ H-ЯМР-спектр в CDCl ₃ (δ, м. д.)	¹³ C-ЯМР-спектр в CDCl ₃ (δ, м. д.)	ИК-спектр (ν, см ⁻¹)
68	2.96-2.91 (m, 4H), 2.20-2.13 (m, 2H)	154.64, C-2; 161.2, C-5; 120.85, C-5a; 27.61, C-6; 21.81, C-7; 34.94, C-8; 133.23, C-8a; 168.29, C-10	1705 (C=O), 1472 (C=C), 1566 (C=N), 566 (C-Br), 738 (C-S-C)
69	2.20-2.13 (m, 2H), 2.96-2.91 (m, 4H); для 2-Phenylthio: 7.71 H-o; 7.56 H-m; 7.28 H-p	155.04, C-2; 162.74, C-5; 120.17, C-5a; 27.55, C-6; 21.86, C-7; 34.83, C-8; 160.79, C-8a; 167.81, C-10; для PhS: 135.47, C-i; 131.04, C-o; 131.04, C-m; 127.58, C-p	1683 (C=O), 570 (C-Br), 742 (C-S-C), 3049 (Ph), 2955 (Ph), 742 (C-S-C)
70	2.98-2.94, (m, 4H), 2.20-2.14, (m, 2H); для 2-Phenyl: 7.97 H-o; 7.57 H-m; 7.27 H-p	155.82, C-2; 160.80, C-5; 120.21, C-5a; 27.64, C-6; 22.04, C-7; 35.02, C-8; 158.62, C-8a; 168.48, C-10; для PhS: 132.78, C-i; 128.57, C-o; 128.57, C-m; 120.21, C-p	1693 (C=O), 1563 (C=N), 1471 (C=C), 537 (C-Br), 753 (C-S-C), 3050 (Ph.)
71	1,22 (t, 3H, CH ₃), 2.94 (m, 4H, 2CH ₂ , CH ₂ CH ₂ SCH ₂), 2.20 (m, 2H) и 2.20 (d, 2H, CH ₂), 3.73 (q, 2H, H ₂)	15.51 (CH ₃ CH ₂ S-CH ₂), 26.05 (CH ₃ CH ₂ - S-CH ₂), 35.48 (CH ₃ CH ₂ S-CH ₂), 154.86 (C-2), 162.78 (C-5), 121.10 (C-5a), 36.51(C-6), 23.81 (C-7), 49.24(C-8), 132.96 (C-8a), 168.98 (C-10)	1567 (C=N), 1531 (C=N), 1470 (C=C), 742 (C-S-C), 1692 (C=O)
72	1.25 (t, 3H, CH ₃), 1.48 (d, 2H, CH ₂), 2.21 (d, 2H, CH ₂), 2.75 (d, 2H, CH ₂), 2.42 (d, 2H, CH ₂) и 2.95-2.90 (m, 4H, 2CH ₂), 2.21-2.16 (2H, CH ₂)	154.96 (C-2), 162.95 (C-5), 121.54 (C-5a), 36.97 (C-6), 23.90 (C-7), 49.34 (C-8), 133.01 (C-8a), 168.54 (C-10), 14.05 24.12, 35.06, 27.05, 33.98	1569 (C=N), 1534 (C=N), 1473 (C=C), 755 (C-S-C), 1693 (C=O)

5. Антимикробная активность производных 2-бром-6-(*n*-бромфенил)-имидазо[2,1-*b*][1,3,4]тиадиазола

Мы обнаружили, что большинство гибридных соединений проявляют высокое антибактериальное действие в отношении широкой группы бактерий и грибков. Данная бициклическая имидазо[2,1-*b*][1,3,4]тиадиазольная структура также интересна тем, что она или её соли в растворах даже в малой концентрации ингибируют рост грамположительных и грамотриципательных бактерий.

Антибактериальные процедуры выполнялись по методике, приведённой в литературе. Проведены антибактериальные испытания для исследуемых соединений 3 методами:

1. диско-диффузионным методом с использованием натриевой соли ампициллина и амфотерицина Б.

2. методом серийных разведений с использованием агара.

3. методом серийных разведений по Мюллер-Хилтону, где в качестве антибиотика взят хлорамфеникол.

С целью нахождения веществ с наибольшей биологической активностью нами были выбраны соединения среди 2-алкиламино-, 2-гетерилциклоамино-, 2-алкилтио-производных имидазотиадиазолов. А также для сравнения результатов было взято и исходное соединение (2а).

Предварительным испытаниям подверглись следующие соединения:

2-бром-6-(*n*-бромфенил)имидазо[2,1-*b*][1,3,4]тиадиазол (2а); 2,5-дигромо-6-(*n*-бромфенил)имидазо[2,1-*b*][1,3,4]тиадиазол (3а); 2-бром-5-тиоцианат-6-(*n*-бромфенил)имидазо[2,1-*b*][1,3,4]тиадиазол (4); 6-(*n*-бромфенил)-2-гидразинил-имидазо[2,1-*b*][1,3,4]тиадиазол (9а); 5-бром-6-(*n*-бромфенил)-2-гидразинил-имидазо[2,1-*b*][1,3,4]тиадиазол (10а); 6-(*n*-бромфенил)-N-этилимидаzo[2,1-*b*][1,3,4]тиадиазол-2-амин (12а); 6-(*n*-бромфенил)-N-бутилимидаzo[2,1-*b*][1,3,4]тиадиазол-2-амин (14а); 5-бром-6-(*n*-бромфенил)-N-этилимидаzo[2,1-*b*][1,3,4]тиадиазол-2-амин (16а); 5-бром-6-(*n*-бромфенил)-N-бутилимидаzo[2,1-*b*][1,3,4]тиадиазол-2-амин (18а); 5-бром-6-(*n*-бромфенил)имидаzo[2,1-*b*][1,3,4]-тиадиазол-2-ил)-N-бутил-амидукусусная кислота (26); 5-бром-6-(*n*-бромфенил)-N,N-диметилимидаzo[2,1-*b*][1,3,4]тиадиазол-2-амин (32); 6-(*n*-бромфенил)-2-(пиперидин-1-ил)имидаzo[2,1-*b*][1,3,4]тиадиазол (34); 5-бром-6-(*n*-бромуфено-нил)-2-(пиперазин-1-ил)имидаzo[2,1-*b*][1,3,4]тиадиазол (39); 6-(*n*-бромфенил)-2-(этигтио)имидаzo[2,1-*b*][1,3,4]тиадиазол (41); 2-(6-(*n*-бромфенил)имидаzo[2,1-*b*][1,3,4]тиадиазол-2-ил)-5-фенил-1,3,4-оксациазол-2,5-сульфид (50).

В ходе проведения первичного скрининга, в ряду синтезированных соединений проявляют значительный противомикробный эффект соединения (9а) и (39) по сравнению с (3а). К действию грибкового штамма *Candida albicans* (ATCC 10231) (10а) и (39) были восприимчивы в диапазоне до 30 мм. В случае бактериальных штаммов, диапазон восприимчивости к *Escherichia coli* (ATCC 11229) составляет до 50 мм, а к *Staphylococcus aureus* (ATCC 6538) соединения оказались восприимчивыми в диапазоне до 35 мм. Восприимчивость к бактериям *Pseudomonas aeruginoss* (ATCC 15442) была в диапазоне от 30 мм, а к *Pasteurella multocida* (ATCC 43137) - в диапазоне от 35 мм. В качестве стандартных антибиотиков для сравнения результатов использовали ампициллин натрия и амфотерицин В. Вместе с тем, исходное соединение оказалось восприимчивым в

диапазонах до 10 мм к *Candida albicans*, *Escherichia coli* и *Pasteurella multocida*, до 15 мм к *Staphylococcus aureus* и 20 мм к *Pseudomonas aeruginoss*, соответственно (таблица 4).

Таблица 4 - Результаты антибактериального скрининга производных 2,5-дигромо-6-(*n*-бромфенилимидаzo[2,1-*b*][1,3,4]тиадиазола методом ДДМ

	Концентрация образца (мг/мл)	Объем образца (мл)	CA Ингибитруемая зона, диаметр (мм)	ЕС Ингибитруемая зона, диаметр (мм)	SA Ингибитруемая зона, диаметр (мм)	РА Ингибитруемая зона, диаметр (мм)	РМ Ингибитруемая зона, диаметр (мм)
Ampicillin sodium salt	10	5	14	-	-	-	-
Ampicillin sodium salt	1	5	-	19	-	17	-
Amphotericin B	5	20	-	-	15	-	18
(2а)	50	20	10	10	15	20	20
(3а)	50	20	10	10	15	20	10
(4)	50	20	35	35	30	30	35
(9а)	50	20	30	45	30	35	35
(10а)	50	20	30	50	30	30	35
(12а)	50	20	12	10	13	15	20
(14а)	50	20	10	22	13	20	25
(16а)	50	20	17	12	13	15	10
(18а)	50	20	10	22	13	15	10
(26)	50	20	20	25	15	20	20
(32)	50	20	18	22	15	15	20
(34)	50	20	35	50	35	30	35
(39)	50	20	30	50	35	30	35
(31)	50	20	30	40	30	35	30
(50)	50	20	30	50	30	25	30

Все исследуемые соединения показали высокую активность с эталонным лекарственным средством Ампициллин и Амфотерицин В против бактериальных штаммов *Candida albicans* (ATCC 10231), *Escherichia coli* (ATCC 11229, *Staphylococcus aureus* (ATCC 6538), *Pseudomonas aeruginoss* (ATCC 15442) *Pasteurella multocida* (ATCC 43137) в определённых концентрациях.

Методом серийных разведений определили минимальную ингибитирующую рост исследуемой культуры бактерий концентрацию антибиотика (МИК).

При проведении опытов в питательных средах изучали бактериостатическую и бактерицидную активность препаратов: (2а), (3а), (4), (7), (9а), (10а), (16а), (32),

(35), (36), (37), (38), (53) (таблицы 4, 5).

В целях подтверждения наших исследований по выявлению биологической активности синтезированных соединений, нами также был проведён антибактериальный скрининг некоторых производных имидазо-тиадиазолов. При проведении опытов в питательных средах изучали antimикробную активность соединений (2a), (4a), (7), (12a), (20), (21), (22), (24), (25), (28), (29).

В качестве стандартного антибиотика использовали хлорамфеникол. Протестированные образцы на четырёх штаммах имеют разные объёмы хлорамфеникола. Результаты антибактериальных тестов синтезированных соединений, полученных методом серийных разведений, приводятся в таблице 5.

Таблица 5 – Значения MIC соединений (20), (24), (25), (28), (29) против оцениваемых бактерий (в мкг/мл)

Соединение	<i>S. aureus</i>	<i>B. cereus</i>	<i>E. coli</i>	<i>P. aeruginosa</i>
(2)	340	340	450	450
(4)	340	100	≤450	450
(7)	100	100	=450	450
(20)-(38)	310	310	400	>400
(21)-(39)	340	450	400	450
(22)-(42)	60	80	310	450
(24)-(43)	80	80	400	310
(25)-(44)	310	80	>400	310
(28)-(45)	40	60	310	310
(29)-(53)	310	400	>400	>400
Хлорамфеникол	1	0.5	4	16

Сопоставление данных бактериостатической и бактерицидной активности вновь синтезированных соединений показало, что соединение (28) с большой массой имеет большую эффективность к воздействию различных бактерий с различными объёмами хлорамфеникола. Активность соединения (25) имеет наибольший эффект, чем остальные пробы. И последовательно (20), (24) и (29) имеют соответственные антибактериальные активности с различными значениями.

5.1. Исследование противотуберкулезной активности производных 2-бром-6-(*p*-бромфенил)имидазо[2,1-*b*][1,3,4]-тиадиазола и 2-бромо-7,8-дигидросиклопентан[*d*][1,3,4]тиадиазол[3,2-*a*]пиримидин-5(6Н)-она методом молекулярного докинга

Исследование проводилось на основе молекулярного докинга производных тиадиазола с целевым белком CmaA1 (синтазой циклопропановой микеловой

кислоты 1), а также с использованием онлайн-базы данных MCULE (<https://mcule.com>), которые с наибольшей вероятностью обеспечивают молекулярный докинг. Для сравнения использовали молекулы тиоацетазона, который в лекарственной форме широко применяется, как противотуберкулёзный препарат. Работа проводилась с помощью программного обеспечения Discovery Studio Visualizer (v.21.1.0.20298).

При проведении исследований выявлено, что из 42 различных молекул производных тиадиазола, подвергшихся исследованию, 24 из них в разной степени могут обладать противотуберкулёзной активностью, так как значения их молекулярных докингов находятся в интервале от -7,4 до -9,4 ккал/моль, когда это значение для молекулы препарата сравнения (тиоацетазона) равно -7,3 ккал/моль. В свою очередь, среди этих выделенных нами молекул, соединения (15a) и (50) обладают выраженной активностью со значениями -9,3 и -9,4 ккал/моль, соответственно. Также соединения (15a) и (50) показали прогноз максимальной противотуберкулезной активности, что является основной предпосылкой для разработки противотуберкулезных средств.

На рисунке 2 приводится механизм взаимодействия соединения (15a) (соответственно) с аминокислотами состава белка CmaA1. Как видно из рисунка 2, соединения (15a) и (50) взаимодействуют с различными аминокислотами по-разному: с тирозином (13), глутамином (96) и глицином (71) через водородные связи; с такими аминокислотами, как валин (9), лейцин (92), триптофан (120), глутамин (121), аланин (135), фенилаланин (139) и другие - через электроны бензольного кольца и атом брома.

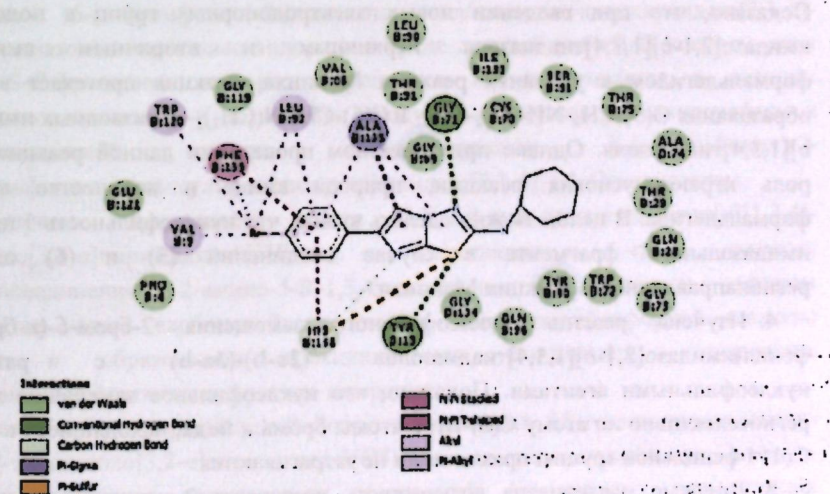


Рисунок 2 - Взаимодействие соединения (15а) с аминокислотой - мишенью СтаА1.

Исследования *in silico* показывают, что большинство исследуемых молекул производных тиадиазола (24 из 42) в разной степени обладают противотуберкулезной активностью по сравнению с тиоацетазоном. Среди них соединения (15а) и (50) считаются самыми приемлемыми для фармакологических исследований и рекомендуются для дальнейшего изучения их противотуберкулезной активности *in vitro* и *in vivo*.

ВЫВОДЫ

1. Синтезированы 2-бром-6-(*n*-бром/йодофенил)имидаzo[2,1-*b*][1,3,4]тиадиазол (2а)-(2б) и 2-бром-7,8-дигидроцикlopента[*d*][1,3,4]тиадиазоло[3,2-*a*]пиrimидин-5(6Н)-он (68) на основе циклоконденсации 2-амино-5-бром-1,3,4-тиадиазола с *n*-бромфеницилбромидом и этиловым эфиrom цикlopентан-2-она карбоновой кислоты, являющиеся ключевыми продуктами в синтезе производных имидаzo[2,1-*b*][1,3,4]-тиадиазола.

2. Исследована реакция электрофильного замещения 2-бром-6-(*n*-бром/йодофенил)имидаzo[2,1-*b*][1,3,4]тиадиазола (2а-б) электрофильными агентами. Выявлено, что замещение протекает селективно по атому С(5)-Н имидазольного фрагмента соединений (2а-б) с образованием 5-замещенных 6-(*n*-бром/йодофенил)имидаzo[2,1-*b*][1,3,4]тиадиазолов (3а-б).

3. Исследована реакция аминометилирования 2-бром-6-(*n*-бромфенил)имидаzo[2,1-*b*][1,3,4]тиадиазола (2а) в условиях реакции Манниха. Показано, что при введении новых электродонорных групп в положение 5 имидаzo[2,1-*b*][1,3,4]тиадиазола первичным и вторичным амином и формальдегидом в условиях реакции Манниха, реакция протекает в сторону образования С(5)-CH₂-NH-CH₂-CH₃- и С(5)-CH₂-N(CH₃)₂-производных имидаzo[2,1-*b*][1,3,4]тиадиазола. Однако при успешном проведении данной реакции важную роль играют условия реакции, природа амина и количество вводимого формальдегида. В целом можно сделать вывод, что нуклеофильность 5 положения имидазольного фрагмента в случае соединений (5) и (6) определяет регионаправленность реакции Манниха.

4. Изучена реакция нуклеофильного замещения 2-бром-6-(*n*-бром/йодофенил)имидаzo[2,1-*b*][1,3,4]тиадиазолов (2а-б)-(3а-б) с различными нуклеофильными агентами. Показано, что нуклеофильное замещение протекает региоселективно по атому С(2)-Br, а атомы брома и йода, находящиеся в С(4)-Br и С(4)-I фенильной группы практически не затрагиваются.

5. Впервые исследована возможность получения 2-аминопроизводных 6-(*n*-бромфенил)имидаzo[2,1-*b*][1,3,4]-тиадиазолов. Установлено, что аминирование 2-

бром-6-(*n*-бромфенил)имидаzo[2,1-*b*][1,3,4]тиадиазола (2а) с вторичными и гетериламиами протекает быстрее, чем первичных аминов.

6. Проведена реакция ацилирования 2-RNH-6-(*n*-бромфенил)имидаzo[2,1-*b*][1,3,4]тиадиазолов (11а)-(14а), (17а)-(20а) уксусным ангидридом. Выявлено, что ацилирование идет по аминогруппе, что приводит к образованию 6-((*n*-бромфенил)-имидаzo[2,1-*b*][1,3,4]тиадиазол-2-ил)-N-алкиламидуксусной кислоты (21)-(28).

7. Впервые показано, что реакция ацилирования N-((2-бром-6-(*n*-бромфенил)-имидаzo[2,1-*b*][1,3,4]тиадиазо-5-ил)метил)этанамина (5) с уксусным ангидридом в присутствии трифтормуксусной кислоты протекает региоселективно с образованием 3,10-дигром-6-этил-5-метил-6Н-[1,3,4]-тиадиазоло[2',3':2,3]имидаzo[4,5-с]бензо[е]-азепина (29), строение которых доказано ИК-, ЯМР ¹Н, ¹³С-спектроскопией, квантово-химическими расчётаами и элементным анализом.

8. Разработан на основе реакции циклоприсоединения 2-амино-5-алкилтио-алкилтиоалкилено-1,3,4-тиадиазолов и *n*-бромфеницилбромида эффективный способ получения 2-алкилтио- и 2-алкилтиоалкилпроизводных 5Н-Br-6-(*n*-бромфенил)имидаzo[2,1-*b*][1,3,4]тиадиазолов. Установлено, что при взаимодействии натриевой соли алкилтиолятов с 2-бром-6-(*n*-бромфенил)-имидаzo[2,1-*b*][1,3,4]тиадиазолом (2а) выход продуктов незначителен.

9. Разработаны методы синтеза 2-алкилсульфонило- и 2-алкилсульфонил-алкилпроизводных 6-(*n*-бромфенил)имидаzo[2,1-*b*][1,3,4]-тиадиазолов путём пероксидного окисления ряда производных 6-(*n*-бромфенил)-2-(алкилтиометил/алкилтиоалкил)имидаzo[2,1-*b*][1,3,4]тиадиазолов. Установлено, что при окислении 6-(*n*-бромфенил)-2-(алкилтио-метил/алкилтио-алкил)имидаzo[2,1-*b*][1,3,4]-тиадиазолов перекисью водорода в среде ледяной уксусной кислоты атом серы C-S-C-фрагмента данных гетероциклов не затрагивается в реакции пероксидного окисления и образуются продукты окисления по алкилсульфид- и алкилтиоалкильной группе, соответствующие 6-(*n*-бромфенил)-2-(алкилсульфонило/алкилсульфонилоалкил)имидаzo[2,1-*b*][1,3,4]тиадиазолам.

10. Впервые осуществлён синтез 2-R-7,8-дигидроцикlopента[*d*][1,3,4]-тиадиазоло[3,2-*a*]пиrimидин-5(6Н)-она. Установлено, что реакции циклоприсоединения 2-амино-5-R-1,3,4тиадиазола с этиловым эфиrom цикlopентан-2-оном карбоновой кислоты в среде полифосфорной кислоты приводят к образованию трёхциклических соединений, содержащих пиrimидиновый фрагмент в середине гетероцикла.

11. Разработан однореакторный синтез производных 7,8-дигидроцикlopenta[*d*][1,3,4]-тиадиазоло[3,2-*a*]пиrimидин-5(6Н)-она из тиосемикарабазида, нитрил-(тиоциан)-содержащих органических соединений. Установлено, что реакция трёхступенчатой конденсации бензонитрила, бензотиоциана, тиосемикарабазида и

этилового эфира циклопентан-2-она карбоновой кислоты (1e) является эффективным способом конструирования 7,8-дигидроцикlopентан[*d*][1,3,4]-тиадиазоло[3,2-*a*]пиrimидин-5(Н)-оновой системы в рамках однореакторного синтеза из доступных исходных реагентов.

12. С помощью ИК-, ^1H - ^{13}C -ЯМР- и масс-спектроскопии установлены структуры 2-бром-6-(*p*-бром/йодофенил)имидазо[2,1-*b*][1,3,4]-тиадиазола (2a-*b*) и 2-бром-5-оксо-5Н-цикlopентан[4,5-*d*][1,3,4]-тиадиазоло[3,2-*a*]-пиrimидина (68) и их производных. Выявлено, что при введении новых функциональных групп не только изменяются полосы поглощения и химических сдвигов, но и изменяются биоактивные свойства данных гетероциклов.

13. Изучены бактериостатическая и бактерицидная активности синтезированных соединений. Выявлено, что синтезированные препараты обладают высокой бактериостатической и бактерицидной активностью в отношении *Pasterella multocida*, *Salmonella dublin* и *Staphylococcus aureus*. Наиболее высокую бактериостатическую и бактерицидную активность к тест-микробам показали соединения (9a), (40) и (46), которые по этим показателям не уступают эталонным лекарственным средствам - Ампицилину и Амфотерицину В.

14. Методом молекулярного докинга изучены свойства некоторых молекул производных имидотиадиазолов и циклопентан[4,5-*d*][1,3,4]-тиадиазоло[3,2-*a*]-пиrimидина и их взаимодействия с целевым белком CtaA1 (синтазой циклопропанниколовой кислоты), что способствует противотуберкулезной активности этих соединений. По результатам исследования можно прогнозировать, что молекулы 24 производных конденсированных тиадиазолов в разной степени могут обладать противотуберкулёзной активностью, так как значения их молекулярных докингов находятся в интервале от -7,4 до -9,4 ккал/моль, когда это значение для молекулы препарата сравнения (тиоацетазона) равно -7,3 ккал/моль. Соединение 6-(*p*-бромфенил)-N-циклогексилимидазо[2,1-*b*][1,3,4]-тиадиазол (15a) и 2-((6-(*p*-бромфенил)имидазо-[2,1-*b*][1,3,4]-тиадиазол-2-ил)тио)-5-фенил-1,3,4-оксидиазол (50) показали выраженную активность со значениями -9,3 и -9,4 ккал/моль, соответственно, и их можно рекомендовать для разработки противотуберкулёзных препаратов.

Основное содержание диссертации опубликовано работах:

Монографии:

1. Рахмонов, Р. Химия производных поликонденсированных 1,3,4-тиадиазолов. Синтез и химическое превращение 2,5-дигидро-6-фенилимидазо[2,1-*b*]-1,3,4-тиадиазола: Монография / Р. Рахмонов, М. А. Куканиев. – Германия: Издательский дом LAP LAMBERT Academic Publishing, 2014. - 105 с.

2. Куканиев, М. А. Химия и биологическая активность производных поликонденсированных 5Н-тиазоло-[4,3-*b*]-1,3,4-тиадиазолов: Монография / М. А.

Куканиев, М. М. Акбарова, Р. О. Рахмонов, З. Г. Гулмахмадзода, Т. М. Салимов. – Душанбе: ООО «Сармад-Компания», 2017. - 96 с.

3. Куканиев, М. А. 1,3,4-Тиадиазоло-[3,2-*a*]пиrimидины: синтез, структура и свойства: Монография / М. А. Куканиев, З. Г. Сангов, Р. О. Рахмонов, Ю. Ходжибаев, Т. М. Салимов, И. М. Игидов. – Душанбе: ООО «Сармад-Компания», 2019. - 127 с.

Публикации в рецензируемых изданиях, рекомендованных ВАК

4. Куканиев, М. А. Взаимодействие хлорида фенилдиазона с производными 1,3,4-тиадиазоло[3,2-*a*]пиrimидина, содержащими активную метиленовую группу / М. А. Куканиев, Н. А. Курбонова, Р. О. Рахмонов, Али Фриджони Хамис // ДАН РТ. - 2002. - Т. 14. - № 1-2. - С. 36-40.

5. Сафаров, С. Ш. Структура 2-бром-6-фенилимидазо-[2,1-*b*][1,3,4]-тиадиазола / С. Ш. Сафаров, Р. О. Рахмонов, Д. С. Муродов, М. А. Куканиев // ДАН РТ. - 2007. - Т. 14. - № 3. - С. 41-43.

6. Сафаров, С. Ш. Синтез и химические превращения 2-бром-6-фенилимидазо[2,1-*b*]-1,3,4-тиадиазола / С. Ш. Сафаров, Р. О. Рахмонов, Д. С. Муродов, М. А. Куканиев // Химия гетероциклических соединений. - 2007. - № 4. - С. 605-608.

7. Kukaniev, M.A. Synthesis and properties of (6-Methyl-2-oxo-4-thioxo-1,2,3,4-tetrahydro-3-pyrimidinyl)acetic acid methyl ester / M. A. Kukaniev, S. Safarov, Yu. Khozhibaev, M. D. Osimov, R. O. Rakhmonov // Chemistry of Heterocyclic Compounds. - 2007. - Vol. 43. - № 4. - P. 499.

8. Kukaniev, M. A. Synthesis and chemical conversions of 2-bromo-6-phenylimidazo[2,1-*b*][1,3,4]thiadiazole / M. A. Kukaniev, S. Safarov, Yu. Khozhibaev, M. D. Osimov, R. O. Rakhmonov // Chemistry of Heterocyclic Compounds. - 2007. - Vol. 43. - Issue 6. - P. 812.

9. Safarov, S. Preparation of 5-bromo-6-phenylimidazo[2,1-*b*][1,3,4]thiadiazol-2-ylamines / S. Safarov, R. Rahmonov, M. A. Kukaniev, D. Scholmeyer, E. Karpuk, H. Meier // Journal of Heterocyclic Chemistry. - 2008. - V. 45. - P. 299-302.

10. Ходжибаев, Ю. Синтез и ИК-спектральная характеристика 2-бром-6-хлорметиленимидазо-[2,1-*b*]-1,3,4-тиадиазола / Ю. Ходжибаев, Р. О. Рахмонов, С. Д. Атоликшоева, М. А. Куканиев, Д. К. Сайдов, И. У. Файзилов // Изв. АН РТ. Отд. физ.-мат., хим., геол. и техн. наук. - 2012. - № 4 (149). - С. 64-67.

11. Ходжибаев, Ю. Синтез и ИК-спектральная характеристика 2-бром- и 2,5-дигидро-6-(*p*-бромфенил)имидазо[2,1-*b*][1,3,4]тиадиазола / Ю. Ходжибаев, Р. О. Рахмонов, М. Т. Заидова, М. А. Куканиев, С. Д. Атоликшоева, А. А. Абдирезеков // ДАН РГ. - 2012. - Т. 55. - № 10. - С. 817-820.

12. Рахмонов, Р. О. Синтез и спектральная характеристика 2-фенилтио-5-бром-6-фенилимидазо[2,1-*b*]-1,3,4-тиадиазола / Р. О. Рахмонов, М. А. Куканиев, Ю. Ходжибаев, Д. К. Сайдов, М. Т. Заидова // ДАН РТ. - 2012. - Т. 55. - № 7. - С. 573-576.

13. Рахмонов, Р. О. Синтез и ацилирование 2-бутиламино-6-*p*-бром-фенилимидазо[2,1-*b*][1,3,4]тиадиазола / Р. О. Рахмонов, Ю. Ходжибаев, М. Т. Заидова, М. А. Куканиев // Франческо Де Анджелис // Изв. АН РТ. Отд. физ.-мат., хим., геол. и техн. наук. - 2013. - № 3 (152). - С. 59-63.

14. Рахмонов, Р.О. Синтез 2-этилметилсульфонил-5-бром-6-фенилимидаzo-[2,1-b]-1,3,4-тиадиазола / Р. О. Рахмонов, М. А. Куканиев, Ю. Ходжибоев, Д. С. Лангарисева, Д. К. Саидов // Вестник Таджикского национального университета (ТНУ). Серия естественных наук. - Душанбе. - 2012. - № 1/3 (85). - С. 236-239.
15. Моради, Р. Взаимодействие 2-метил-5-оксо-5Н-6-этилкарбоксилат-7-фенил-1,3,4-тиадиазоло[3,2-а]-пиrimидина с производными амина / Р. Моради, Ю. Ходжибоев, Р. О. Рахмонов, М. А. Куканиев // ДАН РТ. - 2013. - Т. 56. - № 7. - С. 548-551.
16. Ходжибасев, Ю. Синтез и исследование аминопроизводных 2-метилтио-7-хлорметилен-5-оксо-5Н-1,3,4-тиадиазоло[3,2-а]пиrimидина / Ю. Ходжибасев, С. С. Мамадшоева, Р. О. Рахмонов, М. А. Куканиев, М. Кручинелли, Э. Пистропаоло // Изв. АН РТ. Отд. физ.-мат., хим., геол. и техн. наук. - 2014. - № 2 (155). - С. 30-35.
17. Рахмонов, Р. О. Синтез и спектральная характеристика 2-замещенных производных 6-*p*-бромфенилимидаzo[2,1-b][1,3,4]тиадиазола / Р. О. Рахмонов, Ю. Ходжибоев, М. Т. Зондова // Изв. АН РТ. Отд. физ.-мат., хим., геол. и техн. наук. - 2014. - № 2 (155). - С. 35-41.
18. Зондова, М. Т. ИК-спектры некоторых производных имидазо[2,1-b][1,3,4]-тиадиазолов, содержащие различные функциональные группы / М. Т. Зондова, Д. К. Саидов, Р. О. Рахмонов, С. Г. Бандасев // The USA Journal of Applied Sciences. - 2016. - № 1. - Р. 56-60.
19. Худойбердиева, С. У. Синтез и ИК-спектральная характеристика некоторых 5-замещенных производных новых модифицированных пара-Х-фенилимидаzo[2,1-b][1,3,4]тиадиазола / С. У. Худойбердиева, Д. К. Саидов, Р. О. Рахмонов, М. Т. Зондова, М. М. Амонзода // Вестник ТНУ. Серия естественных наук. - 2016. - № 1/2 (196). - С. 167-173.
20. Рахмонов, Р. О. Синтез и спектральная характеристика 2-R-5-оксо-5Н-цикlopентано[4,5-d][1,3,4]тиадиазоло[3,2-а]пиrimидина / Р. О. Рахмонов, М. Т. Зондова, Д. К. Саидов, Д. С. Лангарисева, И. Ф. Рахимов, М. М. Амонзода // Вестник ТНУ. Серия естественных наук. - 2016. - № 1/3 (200). - С. 191-195.
21. Рахмонов, Р. О. Синтез имидазо[2,1-b][1,3,4]тиадиазолов на основе винилацетилбромида и диэтилового эфира α -бромалановой кислоты / Р. О. Рахмонов, Д. С. Лангарисева, А. М. Кобилзода, М. Ф. Косимзода, М. Т. Зондова, Д. К. Саидов, С. Д. Атоликшоева, М. М. Амонзода // Вестник ТНУ. Серия естественных наук. - 2017. - № 2. - С. 185-190.
22. Рахмонов, Р. О. Синтез новых производных имидазо[2,1-b][1,3,4]-тиадиазолов на основе 2-бromo-6-*p*-Х-фенилимидаzo-[2,1-b][1,3,4]-тиадиазолов / Р. О. Рахмонов, Ю. Ходжибаев, М. Т. Зондова, М. М. Акбарова, М. М. Одилзода // Вестник ТНУ. Серия естественных наук. - 2018. - № 1. - С. 169-177.
23. Рахмонов, Р. О. Синтез и спектральные исследования некоторых 5-замещенных сульфонилпроизводных имидазо-[2,1-b][1,3,4]-тиадиазолов / Р. О. Рахмонов, Д. К. Саидов, Ю. Ходжибаев, С. Г. Бандасев // Вестник ТНУ. Серия естественных наук. - 2018. - № 2. - С. 147-155.
24. Муминов, А. А. Сравнительное изучение бактерицидной активности препаратов против возбудителей некоторых инфекционных болезней животных / А. А. Муминов, Р. О. Рахмонов, М. Т. Зондова, О. Д. Назарова, М. Шарипова // Евразийский медицинский научно-практический журнал «Сино». - Душанбе. - 2019. - № 1. - С. 34-37. ISSN 2555-1810.
25. Рахмонов, Р. О. Синтез и исследования в ряду имидазо[2,1-b][1,3,4]тиадиазола / Р. О. Рахмонов, Ю. Ходжибаев, М. М. Одилзода, У. А. Розиков, Ш. С. Шарипов, С. Хабибзода, Б. Ф. Сафаров, М. Ф. Холиков, С. С. Саидов // Вестник ТНУ. Серия естественных наук. - 2019. - № 1. - С. 193-199.
26. Рахмонов, Р. О. О ацилировании N-((2-метил-6-*p*-бромфенилимидаzo[2,1-b]-[1,3,4]тиадиазол-5-ил)метил)-этамина / Р. О. Рахмонов, Ю. Ходжибаев, М. Т. Зондова, М. М. Одилзода, У. А. Розиков, Ш. С. Шарипов, С. Хабибзода, Б. Ф. Сафаров, М. С. Мухамеджанов // Вестник ТНУ. Серия естественных наук. - 2019. - № 1. - С. 226-231.
27. Рахмонов, Р.О. Синтез 2,5-замещенных производных 6-(4-R-2-фенил)имидаzo-[2,1-b][1,3,4]тиадиазолов и изучение их строения спектральными методами / Р.О. Рахмонов, Ю. Ходжибоев, М. Т. Зондова, Д. К. Саидов, Е. В. Иванова, М. Б. Никишина, Л. Г. Мухторов, Ю. М. Атрощенко // Бутлеровские сообщения №1, том 69. 2022
28. Шаропов, Ф.С. Новые производные тиадиазола с противотуберкулезной активностью / Ф. С. Шаропов, Р. О. Рахмонов, А. Х. Валиев // Вопросы биологической, медицинской и фармацевтической химии. 2022;25(8):31-39. <https://doi.org/10.29296/25877313-2022-08-04>.
- Публикации в других изданиях:
29. Рахмонов, Р. О. 2,5,6-Трехзамещенные имидазо-[2,1-b][1,3,4]тиадиазола: синтез и структура / Р. О. Рахмонов, Ю. Ходжибаев, З. К. Мухидинов, М. М. Акбарова, М. А. Раджабалиева // Международный научно-исследовательский журнал «Евразийский Союз Ученых» (ЕСУ). - 2018. - № 4 (49). - Ч. 3. - С. 69-72.
30. Рахмонов, Р. О. Синтез и исследования в ряду имидазо[2,1-b][1,3,4]тиадиазола / Р. О. Рахмонов, У. А. Розиков, Ш. С. Шарипов, М. М. Одилзода, М. М. Акбарова // Международный польский научный журнал Colloquium-journal. - Warszawa. - Polska. - 2018. - № 5 (16). - Część 1. - С. 55-61.
31. Рахмонов, Р.О. Синтез и структура 2-бromo-5,6-замещенных имидазо[2,1-b]-[1,3,4]-тиадиазолов / Р. О. Рахмонов, Ю. Ходжибаев, Д. Ш. Мирзобеков, Р. Р. Шарифзода, З. К. Мухидинов, М. М. Акбарова // Spirit time. - Berlin. - 2018. - № 5. - С. 41-46.
32. Рахмонов, Р.О. Синтез, исследование и ИК-спектральные характеристики галогеналкилпроизводных имидазо[2,1-b][1,3,4]-тиадиазолов / Р. О. Рахмонов, Ю. Ходжибаев, М. Т. Зондова, У. А. Розиков, М. М. Одилзода, С. Г. Бандасев, Б. Ш. Рахматуллоев // Политехнический Вестник. Серия Инженерные исследования. - 2019. - № 1 (45). - С. 157-167.
33. Рахмонов, Р.О. О ацилировании N-((2-метил-6-*p*-бромфенилимидаzo[2,1-b]-[1,3,4]-тиадиазол-5-ил)метил)-этамина / Р. О. Рахмонов, Ю. Ходжибаев, М. Т. Зондова, М. М. Одилзода, У. А. Розиков, Ш. С. Шарипов, С. Хабибзода, Б. Ф. Сафаров, М. С. Мухамеджанов // Вестник ТНУ. Серия естественных наук. - 2019. - № 1. - С. 226-231.

Статьи и тезисы докладов, опубликованные в материалах республиканских и международных научных конференций:

34. Раҳмонов, Р.О. Спектральная характеристика ^{13}C -ЯМР 2,5-дигром-6-фенилимидаzo-[2,1-b]-1,3,4-тиадиазола / Р. О. Раҳмонов, С. Ш. Сафаров // Междунар. конф. «Современная химическая наука и её прикладные аспекты». – Душанбе, 2006. - С. 68-69.
35. Сафаров, С. Ш. Синтез 2,6-дигром-5-метил-7Н-7-оксо-1,3,4-тиадиазоло[3,2-a]пиримидина / С. Ш. Сафаров, Р.О. Раҳмонов // Междунар. конф. «Современная химическая наука и её прикладные аспекты». – Душанбе, 2006. - С. 69-70.
36. Саидов, Д. К. Синтез 2-пропилэтилсульфонил-5-бром-6-фенилимидаzo-[2,1-b]-[1,3,4]тиадиазола / Д. К. Саидов, Р.О. Раҳмонов, Ю. Ходжибаев, М. А. Куканиев, С. Д. Атоликшоева, М. Т. Зондова // Республ.конф. «Перспективы синтеза в области химии и технологии гетеросоединений», посвящ. 20-летию кафедры высокомолекулярных соединений и химической технологии. - Душанбе, ТНУ, 2012. - С. 123-126.
37. Раҳмонов, Р.О. Синтез 2-алкилтиопроизводных-6-п-бромфенилимидаzo-[2,1-b]-1,3,4-тиадиазолов на основе циклизации 2-алкилтио-5-амино-1,3,4-тиадиазолов и п-бромфенацилбромистого / Р. О. Раҳмонов, Ю. Ходжибаев, М. А. Куканиев, С. Д. Атоликшоева // Междунар. конф. «Комплексные соединения и аспекты их применения». - Душанбе, ТНУ, 2013. - С. 20-21.
38. Раҳмонов, Р.О. Синтез и превращения 2-R-6-RNH-метиленпроизводных имидазо-[2,1-b]-1,3,4-тиадиазолов / Р. О. Раҳмонов, С. Д. Атоликшоева, Ю. Ходжибаев, М. А. Куканиев // Междунар. конф. «Комплексные соединения и аспекты их применения». - Душанбе, ТНУ, 2013. - С. 23-24.
39. Раҳмонов, Р.О. Синтез и спектральные характеристики 2-метилтио-6-бром-7-хлорметилен-5-оксотиадиазоло-[3,2-a]пиримидина / Р. О. Раҳмонов, С. С. Мамадшоева, М. А. Куканиев, Ю. Ходжибаев // Республ. конф. «Перспективы инновационной технологии в развитии химической промышленности Таджикистана». - Душанбе, ТНУ, 2013. - С. 39-40.
40. Раҳмонов, Р. О. Синтез 2-R₁R₂NH-6-п-бромфенилимидаzo-[2,1-b]-1,3,4-тиадиазола / Р. О. Раҳмонов, Ю. Ходжибаев, Д. К. Саидов, М. А. Куканиев // Междунар.научно-практич. конф. «Комплексный подход к использованию и переработке угля». – Душанбе, ИХ АН РТ, 2013. - С. 154-155.
41. Раҳмонов, Р.О. Реакция нуклеофильного замещения 2,5-дигром-6-п-бромфенилимидаzo-[2,1-b]-[1,3,4]тиадиазола с вторичными аминами / Р. О. Раҳмонов, Ю. Ходжибаев, М. Т. Зондова, М. А. Куканиев // Республ. конф. «Перспективы инновационной технологии в развитии химической промышленности Таджикистана». – Душанбе, ТНУ, 2013. - С.59-60.
42. Раҳмонов, Р.О. Синтез 2-сульфидпроизводных-6-п-бромфенилимидаzo-[2,1-b]-1,3,4-тиадиазола / Р. О. Раҳмонов // Республ. научн. конф. «Химия, технология и экология воды», посвящ. Году «Сотрудничество по водной проблеме» и 55-летию кафедры «Общая и неорганическая химия». -- Душанбе, ТГПУ им. С.Айни, 2013. -С. 77-78.
43. Раҳмонов, Р.О. Синтез 2-R₁R₂NH-6-п-бромфенилимидаzo-[2,1-b]-1,3,4-тиадиазола / Р. О. Раҳмонов, Ю. Ходжибаев, Д. К. Саидов, М. А. Куканиев // Республ. конф. «Перспективы инновационной технологии в развитии химической промышленности Таджикистана». – Душанбе, ТНУ, 2013. - С. 49-50.
44. Moradi, R. The properties of compound derivatiyes of 2-R-5-oxo-5H-6-carboxamide-7-phenyl-[1,3,4]thidiazolo[3,2-a]pyrimidine / R. Moradi, Yu. Hozhiboev, R. O. Rakhamonov // Республ. конф. «Перспективы инновационной технологии в развитии химической промышленности Таджикистана». – Душанбе, ТНУ. - С. 58-59.
45. Раҳмонов, Р.О. Синтез 2-R-6-хлорметиленимидаzo-[2,1-b]-1,3,4-тиадиазола / Р. О. Раҳмонов, Ю. Ходжибаев, Д. К. Саидов, М. А. Куканиев // Республ. конф. «Перспективы инновационной технологии в развитии химической промышленности Таджикистана». – Душанбе, ТНУ, 2013. - С. 68-69.
46. Раҳмонов, Р.О. Синтез и свойства 2-RNH-6-п-бромфенилимидаzo-[2,1-b]-1,3,4-тиадиазола / Р. О. Раҳмонов, Ю. Ходжибаев, М. А. Куканиев // Междунар. конф. «Комплексные соединения и аспекты их применения». – Душанбе, ТНУ, 2013. - С. 21-23.
47. Мамадшоева, С. С. Синтез 2-метилтио-7-метиленалкил-N,N-диалкил аминопроизводных-5-оксо-5H-1,3,4-тиадиазоло-[3,2-a]пиримидинов / С. С. Мамадшоева, М. А. Куканиев, Ю. Ходжибаев, Р. О. Раҳмонов // Междунар. конф. «Комплексные соединения и аспекты их применения». – Душанбе, 2013. - С. 24-25.
48. Раҳмонов, Р.О. Синтез и инфракрасные спектры некоторых производных имидазо-[2,1-b]-1,3,4-тиадиазолов / Р. О. Раҳмонов, Ю. Ходжибаев, М. А. Куканиев // Республ. научно-практич. конф. «Проблемы аналитического контроля окружающей среды и технических материалов». – Душанбе, ТНУ, 2013. - С. 25-26.
49. Раҳмонов, Р.О. Синтез и ИК-спектральная характеристика 2-бром-5-формил-6-п-бромфенилимидаzo-[2,1-b]-1,3,4-тиадиазола / Р. О. Раҳмонов, Ю. Ходжибаев, Д. К. Саидов, Д. С. Лангариева, М. А. Куканиев // 61-я Годичная научно-практич. конф. «Вклад медицинских наук в практическое здравоохранение» с международным участием: Сборник научных статей. – Душанбе, ТГМУ им. Абуали Сино, 2013. – С. 89-91.
50. Саидов, Д. К. Аминометилирование 2-R-6R1-имидаzo-[2,1-b]-1,3,4-тиадиазола / Д. К. Саидов, Р. О. Раҳмонов, Ю. Ходжибаев, С. Г. Бандаев, М. А. Куканиев // Республ. научно-практич. конф. «Роль молодёжи в решении важнейших проблем в процессе глобализации». - Душанбе, 2014. - С. 136-137.
51. Раҳмонов, Р.О. Альдегидирование некоторые 2-диалкилалкилсульфонил-производных имидазо-[2,1-b]-1,3,4-тиадиазолов на основе реакции Вилсмессера-Хаака / Р. О. Раҳмонов, Ю. Ходжибаев, С. Б. Бандаев, Д. К. Саидов, М. А. Куканиев // Республ. конф. «Дифференцированное обучение и совершенствование содержания образования», посвящ. 25-летию кафедры методики преподавания химии и 75-летию академика У. Зубайдова. – Душанбе, ТГПУ им. С.Айни, 2014. - С. 171-172.
52. Rakhamonov, R.O. Synthesis and chemical transformation of 2-R-6-R1-imidazo-[2,1-b]-1,3,4-thidiazole // R. O. Rakhamonov, S. D. Atolikshoeva, Y. Hadjiboev // XV International

Scientific Conference «High-Tech in Chemical Engineering-2014». - Moscow, Zvenigorod, 2014. - P. 130-131.

53. Мамадшоева, С. С. Синтез некоторых производных 2-R-5-R₂-6-R₁-имидаzo[2,1-*b*][1,3,4]тиадиазолов / С. С. Мамадшоева, Р. О. Раҳмонов, Д. К. Саидов, М. Т. Зойдова, С. Д. Атоликшоева // III Междунар. всерос. науч. конф. «Успехи синтеза и комплексообразования», посвящ. 55-летию РУДН. - М., 2014. - С. 268.

54. Раҳмонов, Р.О. Реакция окисления 2-алкил/алкилал-киленсульфид-производных-5R-6-*p*-бромфенилимидаzo[2,1-*b*][1,3,4]тиадиазола - пути к синтезу 2-алкил/алкилалкиленсульфонилпроизводных-5-Br-6-*p*-бром-фенилимидаzo[2,1-*b*][1,3,4]тиадиазолам / Р. О. Раҳмонов, Ю. Ходжибаев, М. Т. Зойдова, Халхи Акбар Айса // The 4th International Symposium on edible Plant Resources and the bioactive Ingredients. - Dushanbe, Tajikistan, 2014. - P. 126-127.

55. Раҳмонов, Р.О. Реакция Манниха: целевой подход для синтеза 2,5,6-тризамешённых-[2,1-*b*]-1,3,4-тиадиазолов / Р. О. Раҳмонов, Д. К. Саидов, Ю. Ходжибоев, С. Г. Бандаев // Республ. научная конф. «Экология и вопросы обучения и воспитания», посвящ. 70-летию зав. кафедрой «Химическая технология и экология», доцента Н. И. Шарипова. - Душанбе, ТГПУ им. С. Айни, 2014. - С. 60-62.

56. Раҳмонов, Р.О. Синтез и химические превращения 2-метил/бензил-б-хлорметиленимидаzo[2,1-*b*]-1,3,4-тиадиазола / Р. О. Раҳмонов, С. Д. Атоликшоева, Ю. Ходжибоев // Республ. научная конф. «Экология и вопросы обучения и воспитания», посвящ. 70-летию зав. кафедрой «Химическая технология и экология», доцента Н. И. Шарипова. - Душанбе, ТГПУ им. С. Айни, 2014. - С. 74-75.

57. Раҳмонов, Р. О. Синтез 2-R-5-оксо-5H-цикlopентано-[4,5-d]-1,3,4-тиадиазоло-[3,2-*a*]-пиримидина / Р. О. Раҳмонов, Ю. Х. Ходжибаев, Д. К. Саидов, М. Т. Зойдова, С. С. Мамадшоева, С. Д. Атоликшоева, М. М. Амонзода // Междунар. научно-практич. конф., посвящ. 1150-летию персидско-таджикского учёного-энциклопедиста, врача, алхимика и философа Абу Бакра Мухаммада иби Закария Рazi. - Душанбе, 2015. - С. 53-55.

58. Раҳмонов, Р.О. Реакция Блан: Подходящий метод для синтеза 5-хлорпроизводных имидазо-[2,1-*b*]-1,3,4-тиадиазола / Р. О. Раҳмонов, Д. К. Саидов, С. Д. Атоликшоева, М. Т. Зойдова, М. М. Амонзода, С. У. Худойбердизода // Междунар. научно-практич. конф., посвящ. 1150-летию персидско-таджикского учёного-энциклопедиста, врача, алхимика и философа Абу Бакра Мухаммада иби Закария Рazi. - Душанбе, 2015. - С. 51-53.

59. Раҳмонов, Р.О. ИК-спектральные характеристики продукта ацилирования некоторых 2-RNH-5-R1-6-*p*-бромфенилимидаzo[2,1-*b*][1,3,4]тиадиазола / Р. О. Раҳмонов, Д. К. Саидов, С. Д. Атоликшоева, М. Т. Зойдова, З. С. Ахмедова, С. У. Худойбердизода // XII Нумановские чтения. - Душанбе, 2015. - С. 16-17.

60. Раҳмонов, Р.О. Синтез новых биологических веществ на основе 2-бром-6-(*p*-бромфенил)имидаzo[2,1-*b*][1,3,4]тиадиазола / Р. О. Раҳмонов, М. Т. Зойдова, Д. К. Саидов, М. М. Амонзода, С. У. Худойбердизода // Междунар. научно-практич. конф. «Роль молодых учёных в развитии науки, инноваций и технологий», посвящ. 25-летию Государственной Независимости Республики Таджикистан. - Душанбе, 2016. - С. 163-166.

61. Зойдова, М .Т. Синтез и спектральные исследования некоторых 5-замещённых сульфонилпроизводных имидазо[2,1-*b*][1,3,4]тиадиазолов / М. Т. Зойдова, Д. К. Саидов, Р. О. Раҳмонов, С. Г. Бандаев // X Междунар. теплофизическая школа «Теплофизические исследования и измерения при контроле качества веществ, материалов и изделий». - Душанбе-Тамбов, 2016. - С. 277-283.

62. Раҳмонов, Р.О. Синтез, ИК-спектральные характеристики и биологическая активность 2-гидразинпроизводных имидазо[2,1-*b*][1,3,4]тиадиазолов / Р. О. Раҳмонов, М. Т. Зойдова, Д. К. Саидов, С. Д. Атоликшоева, М. М. Амонзода // Междунар. научно-практич. конф. «Химия производных глицерина: синтез, свойства и аспекты использования», посвящ. 25-летию Государственной Независимости Республики Таджикистан и реализации «Программы инновационного развития Таджикистана на период 2011-2020 гг.». - Дангаре, Таджикистан, 2016. - С. 21-24.

63. Зойдова, М. Т. Исследование реакции ацилирования N-(2-R-6-фенилимидаzo[2,1-*b*][1,3,4]тиадиазол-5-ил)метил)алкиламина / М. Т. Зойдова, Д. К. Саидов, Р. О. Раҳмонов, Г. А. Ташибаев, С. Г. Бандаев, М. М. Амонзода, Х. Бобиев // XIII Нумановские чтения «Достижения химической науки за 25 лет Государственной Независимости Республики Таджикистан», посвящ. 70-летию образования Института химии им. В.И. Никитина АН РТ. - Душанбе, ИХ АН РТ, 2016. - С. 46-48.

64. Зойдова, М. Т. Синтез, физико-химические свойства производных 5-бromo-6-пара-бромфенилимидаzo[2,1-*b*][1,3,4]тиадиазолов / М. Т. Зойдова, Р.О. Раҳмонов, Ю. Ходжибаев, Д. Ш. Мирзобеков // XIV Нумановские чтения «Вклад молодых учёных в развитие химической науки», посвящ. Году молодёжи. - Душанбе, ИХ АН РТ, 2017. - С.7-10.

65. Раҳмонов, Р.О. Синтез и исследование 2-бромо-5-R-6-пара-бромфенил-имидаzo[2,1-*b*][1,3,4]тиадиазола / Р. О. Раҳмонов, М. Т. Зойдова, Ю. Ходжибаев, У. А. Розиков, Ш. С. Шарипов // XV Междунар. научно-практич. конф. по медицине, биологии и химии. - М., 2018. - № 7. - С. 88-95.

66. Зойдова, М. Т. Синтез, физико-химические свойства аминопроизводных 5-брому-6-(пара-бромфенил)имидаzo-[2,1-*b*][1,3,4]тиадиазола / М. Т. Зойдова, Р. О. Раҳмонов // Республ. научно-практич. конф. с междунар. участием, посвящ. «Году развития туризма и народных ремесел». -Душанбе, 2018. - С. 200-201.

67. Раҳмонов Р.О. Изучение структуры имидазо-[2,1-*b*][1,3,4]-тиадиазолов методом ИК-спектрометрии / Р. О. Раҳмонов, Ю. Ходжибаев, М. Т. Зойдова, М. М. Акбарова, М. Одилзода, Д. Ш. Мирзобеков, Х. А. Бобиев // Республ. конф. «Проблемы применения современных физико-химических методов для анализа и исследования веществ и материалов». -Душанбе, 2018. - С. 21-25. ISBN 978-99975-61-83-6.

68. Раҳмонов, Р.О. Изучение колебательного спектра 2-бром-5-формил-6-*p*-бромфенил имидазо[2,1-*b*][1,3,4]тиадиазола / Р. О. Раҳмонов, М.Т. Зойдова, М. М. Акбарова, Ю. Ходжибаев, Ш. С. Шарипов, У.А. Розиков, Д. Ш. Мирзобеков // Республ. конф. «Проблемы применения современных физико-химических методов для анализа и исследования веществ и материалов». -Душанбе, 2018. - С. 28-30. ISBN 978-99975-61-88-6.

69. Зойдова, М.Т. 2-Пиперазин-5-бром-6-(*n*-бромфенил)имидазола[2,1-*b*]-[1,3,4]тиадиазол, обладающий антимикробной активностью / М. Т. Зойдова, Р.О. Раҳмонов, Ю. Ходжибоев // XV Междунар. научно-практ. конф., посвящ. 80-летию ТГМУ им. Абуали иби Сино. - 2019. - Т. 3. – С. 149-151.

70. Муминов, А.А. Сравнительное изучение бактерицидной активности препаратов против возбудителей некоторых инфекционных болезней животных / А.А. Муминов, Р.О. Раҳмонов, М.Т. Зойдова // XV Междунар. научно-практ. конф. «Противодействие и снижение угроз распространения устойчивости микроорганизмов к противомикробным препаратам в пищевых продуктах Республики Таджикистан». – Душанбе, 2019. - С.34-39.

Сдано в печать 03.04. 2023 г.
Подписано в печать 04.04. 2023г.
Формат 60x84 1/16. Бумага офсетная.
Печать офсетная. Тираж 100 экз.

Отпечатано в типографии
Министерства образования и науки РТ
г. Душанбе, ул. Лахути 6, 1 проезд

